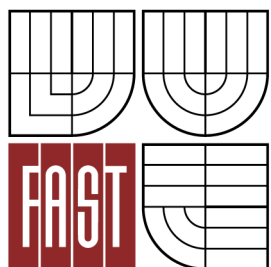




VYSOKÉ UČENÍ TECHNICKÉ V BRNĚ
BRNO UNIVERSITY OF TECHNOLOGY



FAKULTA STAVEBNÍ
ÚSTAV STAVEBNÍ MECHANIKY
FACULTY OF CIVIL ENGINEERING
INSTITUTE OF STRUCTURAL MECHANICS

NUMERICKÉ MODELY PRO POSUZOVÁNÍ STABILITY ZEMNÍHO SVAHU

NUMERICAL PATTERNS FOR EVALUATION OF THE STABILITY SLOPE

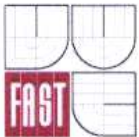
DIPLOMOVÁ PRÁCE
MASTER'S THESIS

AUTOR PRÁCE
AUTHOR

Bc. JAN EKR

VEDOUCÍ PRÁCE
SUPERVISOR

Ing. ROMAN GRATZA, Ph.D.



VYSOKÉ UČENÍ TECHNICKÉ V BRNĚ

FAKULTA STAVEBNÍ

Studijní program

N3607 Stavební inženýrství

Typ studijního programu

Navazující magisterský studijní program s prezenční formou studia

Studijní obor

3608T001 Pozemní stavby

Pracoviště

Ústav stavební mechaniky

ZADÁNÍ DIPLOMOVÉ PRÁCE

Diplomant

Bc. Ekr Jan

Název

Numerické modely pro posuzování stability zemního svahu

Vedoucí diplomové práce

Ing. Roman Gratz, Ph.D.

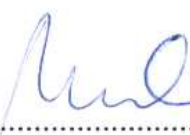
**Datum zadání
diplomové práce**

31. 3. 2011

**Datum odevzdání
diplomové práce**

13. 1. 2012

V Brně dne 31. 3. 2011


.....
prof. Ing. Drahomír Novák, DrSc.

Vedoucí ústavu


.....
prof. Ing. Rostislav Drochytka, CSc.

Děkan Fakulty stavební VUT



Podklady a literatura

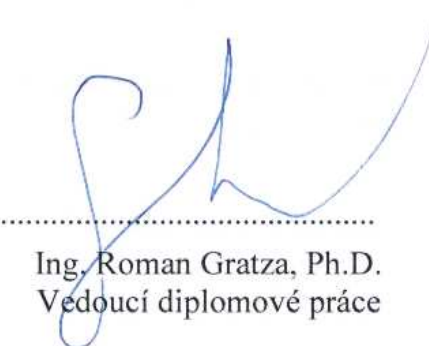
- [1] Bittnar, Z., Šejnoha, J. Numerické metody mechaniky 1, 2. Vydavatelství ČVUT, Praha: 1992.
- [2] Kolář, V., Němec, I., Kanický, V. FEM – Principy a praxe metody konečných prvků. Vydavatelství Computer Press, 1997.
- [3] Mencl, V. Mechanika zemin a skalních hornin. Academia, Praha: 1966.
- [4] Weiglová, K. Mechanika zemin. Akademické nakladatelství, Brno: 2007.
- [5] Theory Reference – ANSYS, release 12.0.

Zásady pro vypracování

V rámci posuzování stability zemních těles využít vhodné metody pro stanovení napjatosti zemního svahu při různých návrhových situacích. Řešení realizovat na bázi metody konečných prvků s využitím programového systému ANSYS. Výsledky porovnat s klasickými přístupy určování stupňů stability zemních svahů.

Předepsané přílohy

Licenční smlouva o zveřejňování vysokoškolských kvalifikačních prací



Ing. Roman Gratz, Ph.D.
Vedoucí diplomové práce

Abstrakt

V diplomové práci se řeší numerické modely pro posuzování stability zemních těles. Výpočty byly provedeny metodou konečných prvků pro různé návrhové situace s využitím programového systému ANSYS. Výsledky byly porovnány s klasickými přístupy určování stupňů stability zemních svahů.

Klíčová slova

svah, zemina, posouzení, analýza, stupeň stability, redukce smykových parametrů, Drucker-Prager, Petterson, Bishop, ANSYS

Abstract

The master's thesis deals with numerical patterns for evaluation of the stability slopes. Solutions have been made with finite element method for different design situations with using programme system ANSYS. The results were compared with conventional approaches determining of the slope safety factor.

Keywords

slope, soil, evaluation, analysis, safety factor, shear strength reduction, Drucker-Prager, Petterson, Bishop, ANSYS

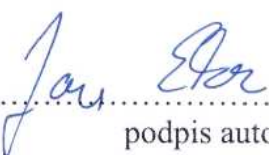
Bibliografická citace VŠKP

EKR, Jan. *Numerické modely pro posuzování stability zemního svahu*. Brno, 2012. 60 s.
Diplomová práce. Vysoké učení technické v Brně, Fakulta stavební, Ústav stavební mechaniky. Vedoucí práce Ing. Roman Gratza, Ph.D.

Prohlášení:

Prohlašuji, že jsem diplomovou práci zpracoval samostatně, a že jsem uvedl všechny použité, informační zdroje.

V Brně dne 12. 1. 2012


.....
podpis autora

Poděkování

Chtěl bych poděkovat všem, kteří se mi věnovali a měli se mnou trpělivost při psaní této diplomové práce. Vřele děkuji hlavně mému vedoucímu diplomové práce Ing. Romanu Gratzovi, Ph.D. Oceňuji jeho snahu předat mi co nejvíce ze svých odborných znalostí. Jsem mu za tento přístup velmi vděčný.

Obsah

1	Úvod	2
2	Vlastnosti zemin.....	3
2.1	Popisné vlastnosti	3
2.2	Mechanické vlastnosti.....	5
2.2.1	Pevnost zemin.....	5
2.2.2	Vliv pórového tlaku na pevnost zeminy	7
2.2.3	Stlačitelnost	8
2.2.4	Základní typy smykových zkoušek	8
2.3	Kategorie zemin	9
3	Klasické metody řešení stability svahů.....	15
3.1	Pettersonova metoda	15
3.2	Bishopova metoda.....	17
3.3	Algoritmus řešení.....	18
4	Numerické modelování metodou konečných prvků.....	25
4.1	Metoda redukce smykových parametrů pevnosti	25
4.2	Mohrova-Coulombova podmínka plasticity	27
4.3	Druckerova-Pragerova podmínka plasticity	28
4.4	Použité konečné prvky	31
5	Řešené příklady	33
5.1	Srovnání klasických a moderních metod ve 2D	33
5.1.1	Jednovrstvý svah – parametrická studie	33
5.1.2	Vícevrstvý svah	43
5.2	Výpočet moderními metodami ve 3D.....	49
6	Závěr	53
7	Literatura a zdroje	54
8	Seznam symbolů	55
	PŘÍLOHA	57

1 Úvod

Diplomová práce se zabývá numerickými modely pro posuzování stability svahu. Obvykle se úloha určení míry bezpečnosti stability svahu řeší při návrhu či posouzení dopravních, vodních, pozemních a dalších staveb. Cílem numerického modelování je získání kvalifikovaných informací pro bezpečné posouzení přírodních či uměle vytvořených svahů. Bohužel i v současné době jsou známy případy, kdy nestabilní svah způsobí velké škody na majetku nebo dokonce i ztráty na životech. Projektované svahy je přitom navíc často nutné ekonomicky navrhnut.

V druhé kapitole práce jsou uvedeny základní popisné a mechanické vlastnosti zemin, které jsou potřebné při zadávání vstupních údajů pro materiálové charakteristiky do výpočtu. Zařazení zemin do kategorií vychází z dřívějších i současně platných norem.

Ve třetí kapitole jsou popsány klasické metody řešení stability svahů, a to zejména Pettersonova metoda a Bishopova metoda. Jelikož je ruční výpočet těmito metodami časově náročný, byl jako pomocný nástroj vytvořen vlastní program. Je napsán v jazyce C# na platformě .NET Framework 4.0. Algoritmus, podle kterého byl program vytvořen, je rovněž stručně popsán.

Ve stěžejní čtvrté kapitole je popsáno řešení stability svahu pomocí metody konečných prvků. Výpočet se provádí metodou redukce smykových parametrů (SSR Shear Strength Reduction) společně s využitím materiálového modelu s vnitřním třením postihujícím plastické chování. Jsou uvedeny materiálové modely, které se hodí pro řešení zemin. Patří mezi ně Mohrův-Coulombův a Druckerův-Pragerův materiálový model.

V páté kapitole jsou prezentovány příklady řešení stability svahu metodou konečných prvků, jejichž výsledky jsou srovnávány s klasickými metodami. Navíc byla provedena parametrická studie, která poukazuje na vliv jednotlivých vstupních parametrů.

V závěrečné části práce jsou zhodnoceny výsledky z provedených numerických studií a shrnut postup pro řešení úloh stability svahů metodou konečných prvků.

2 Vlastnosti zemin

Zemina je z fyzikální stránky velmi složitý materiál. Od jiných látek se liší hlavně tím, že sestává ze tří složek (pevné, kapalné a plynné) [7]. Vzájemný poměr těchto tří složek a jejich vzájemný vztah je faktorem, který výrazně ovlivňuje chování zeminy jako celku.

Vlastnosti zemin lze rozdělit na

- popisné (indexové),
- mechanické.

2.1 Popisné vlastnosti

Popisné vlastnosti charakterizují zeminu, definují její stavbu a určují množství pevné, kapalné a plynné složky. Mezi tyto vlastnosti patří např. objemová tříha, vlhkost, půrovitost, stupeň nasycení, konzistence, zrnitost atd.

Pro výpočet **objemové tříhy** zeminy je potřebné znát nejprve její hustotu. Je to hmotnost jednotkového objemu zeminy. Uvažuje se tedy s hmotností pevných částic a pórů, které mohou být vyplněny vodou či vzduchem. Pro hustotu platí

$$\rho = \frac{m}{V}, \quad (2.1)$$

kde m je hmotnost daného objemu zeminy a V je objem zeminy.

Rozeznává se [7]

- hustota v přirozeném uložení (všeobecný případ, trojsložkový systém) ρ ,
- hustota nasycené zeminy (dvojsložkový systém) ρ_{sat} ,
- hustota suché zeminy (jednosložkový systém) ρ_d ,
- hustota pod hladinou vody ρ_{su} .

V půdně-mechanických výpočtech se uvažuje objemová tříha zeminy (γ_{sat} , γ_d , γ_{su}) vztahem [7]

$$\gamma = g \cdot \rho, \quad (2.2)$$

kde g je tělové zrychlení.

Vlhkost je důležitým faktorem, který ovlivňuje chování zeminy. Např. zvýšením vlhkosti se sníží pevnost jílovitých zemin. Voda v zemině je buď vázána chemicky na pevné částice, nebo je obsažena v pórech. Jako vlhkost zeminy označujeme pouze množství vody obsažené v pórech [3]. Tuto vodu lze odstranit zahřátím na teplotu mírně nad 100 °C. Chemicky vázanou vodu lze z části odstranit dalším zvýšením teploty. Vlhkost se stanovuje dle výrazu [7]

$$w = \frac{m_w}{m_d} \cdot 100, \quad (2.3)$$

kde m_w je hmotnost vody ve vzorku a m_d je hmotnost vzorku zeminy po vysušení.

Pórovitost udává poměr objemu pórů k celkovému objemu zeminy [7]

$$n = \frac{V_{\text{pórů}}}{V_{\text{zeminy}}} = \frac{\rho_s - \rho_d}{\rho_s} \cdot 100, \quad (2.4)$$

kde ρ_s je hustota pevných částic a ρ_d je hustota suché zeminy.

Stupeň nasycení udává, jaká část objemu pórů je vyplněna vodou [7]

$$S_r = \frac{V_{\text{vody}}}{V_{\text{pórů}}}, \quad (2.5)$$

kde V_{vody} je objem vody v pórech a $V_{\text{pórů}}$ je objem pórů.

Konzistence je významná charakteristická vlastnost jílovitých zemin. Při různém obsahu jílovitých minerálů a jejich odlišné povaze může zemina při stejné vlhkosti vykazovat různé chování. Vyplývá to z rozdílného chemického složení daných jílovitých částic, které působí různými silovými účinky na molekuly vody.

Podle obsahu vody může být zemina v některém z konzistenčních stavů uvedených v tab. 2.1, kde w_s je mez smrštitelnosti, w_p je mez plasticity a w_l je mez tekutosti. Dané meze jsou zjištěny z laboratorních zkoušek.

Tab. 2.1 Konzistenční meze

Stav				
tvrdý	pevný	plastický		tekutý
		tuhý	měkký	
		w_s	w_p	w_l

Index plasticity I_p je rozdíl meze tekutosti w_l a meze plasticity w_p . Stanovuje rozsah vlhkosti, ve kterém je zemina plastická [7]

$$I_p = w_l - w_p. \quad (2.6)$$

Stupeň konzistence I_c vyjadřuje konzistenční stav zeminy. Je dán vztahem

$$I_c = \frac{w_l - w}{w_l - w_p} = \frac{w_l - w}{I_p}. \quad (2.7)$$

Zrnitost je významná charakteristika zeminy. Stanovuje podíl jednotlivých frakcí zrn na celkovém množství. Znázorňuje se graficky křivkou zrnitosti. Ta se vynáší do grafu, kde na vodorovné osy jsou v logaritmické stupnici průměry zrn a na svislé lineární stupnici podíly

zrn v procentech. Pro stanovení zrnitosti se používá síťový rozbor pro nesoudržné zeminy a aerometrická zkouška pro soudržné zeminy.

2.2 Mechanické vlastnosti

Velice významné jsou mechanické vlastnosti, neboť přímo ovlivňují statické řešení. Patří mezi ně např. pevnost a deformační charakteristiky. Podle mechanických vlastností se rozeznávají zeminy soudržné a nesoudržné.

Mezi **soudržné zeminy** patří jílovité zeminy. Smyková pevnost soudržných zemin je určena úhlem vnitřního tření φ a také soudržností (kohezí) c . Soudržnost je způsobena solemi a silovými účinky mezi jílovými minerály a částicemi vody [3]. Z toho vyplývá, že obsah vody ovlivňuje pevnost soudržných zemin. S větším obsahem vody se soudržnost zmenšuje. Díky kohezi mohou tyto zeminy přenést i napětí v tahu. Soudržné zeminy mají malou propustnost, proto jejich konsolidace probíhá dlouhodobě.

K **nesoudržným zeminám** patří sypké zeminy (štěrky, píska). Smyková pevnost je dána úhlem vnitřního tření. Soudržnost (koheze) u nesoudržných zemin je rovna nule. Tyto zeminy mají dobrou propustnost, a proto u nich dochází k rychlejší konsolidaci. Mechanické vlastnosti nezávisí na vlhkosti, ale na ulehlosti (pórovitosti), dále na granulometrickém složení a tvaru zrn, pod hladinou podzemní vody na směru spádu vody [7].

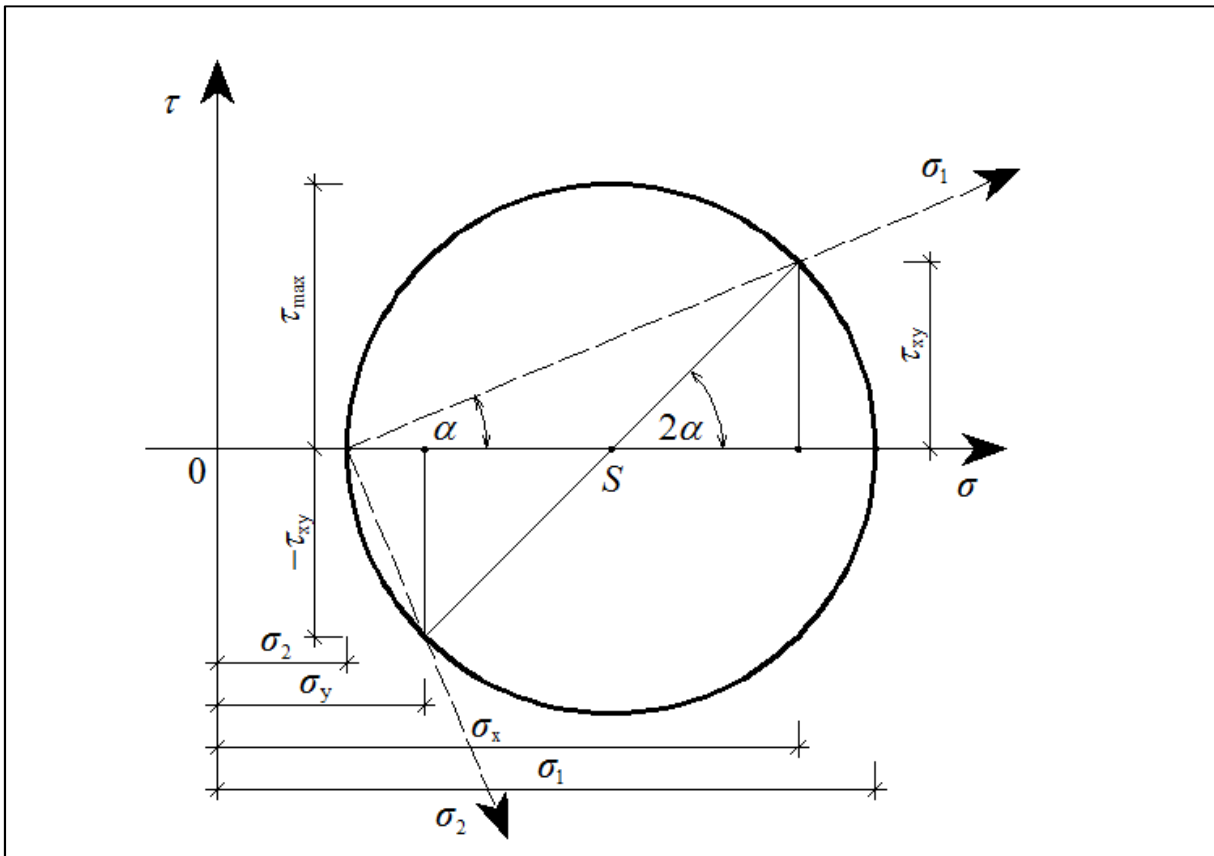
2.2.1 Pevnost zemin

Zeminy se nejčastěji porušují smykovým namáháním, proto je pro statické posouzení nutné určit jejich smykovou pevnost. Obecně je pevnost ve smyku τ_f vyjádřena Coulombovým vztahem [7]

$$\tau_f = \sigma \cdot \operatorname{tg} \varphi + c, \quad (2.8)$$

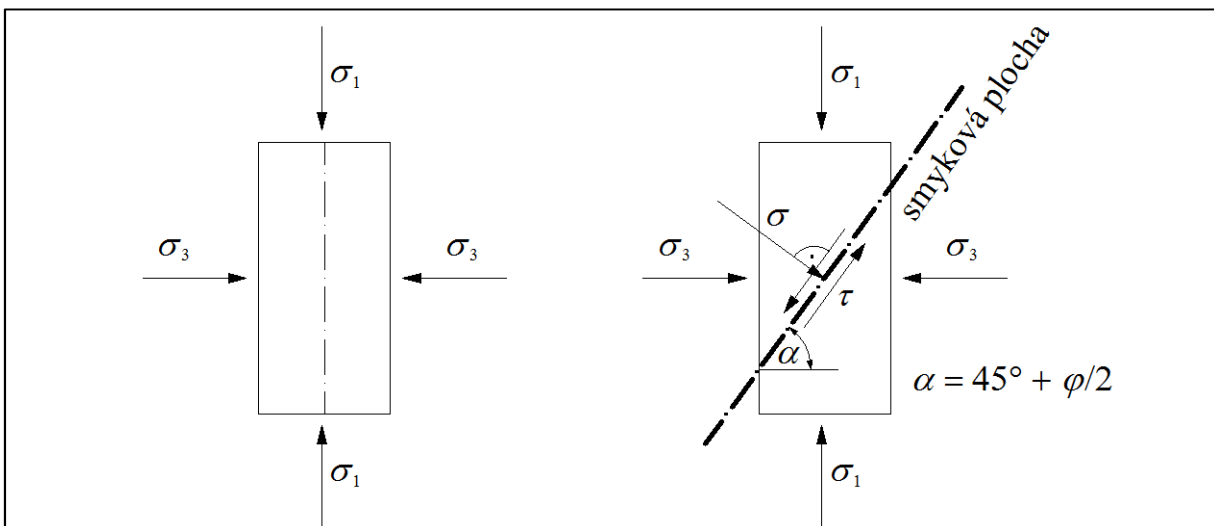
kde τ_f je tangenciální napětí na smykové ploše (vnitřní odpor zeminy), σ je normálové napětí působící kolmo na smykovou plochu porušení, c je soudržnost a φ je úhel vnitřního tření zeminy.

K zobrazení stavu napjatosti v bodě tělesa se používá Mohrova kružnice, viz obr. 2.1. Její jednotlivé body znázorňují svými souřadnicemi napětí k jednotlivým různě skloněným řezům v tomto bodě tělesa [3]. Lze nalézt řez, na kterém nebude působit smykové napětí, ale pouze extrémní normálová napětí $\sigma_2 < \sigma_1$ (pro případ rovinné úlohy). Tyto napětí se označují jako hlavní napětí. Napjatost v bodě je definována pokud známe působící napětí pro libovolný sklon řezu v daném bodě.

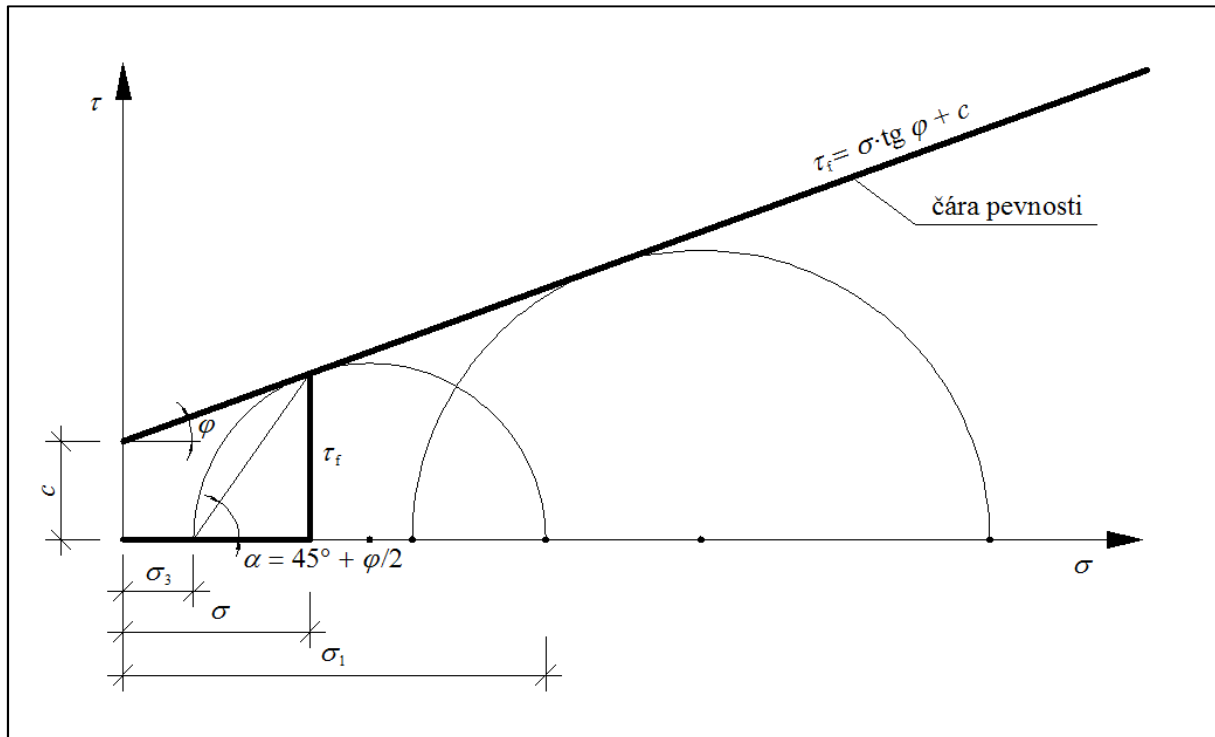


Obr. 2.1 Mohrova kružnice [4]

K získání smykových parametrů zeminy lze použít Mohrovu kružnici. Zatěžuje-li se vzorek ve tvaru válce napětím σ_1 , σ_2 a σ_3 dle obr. 2.2, kde σ_2 je totožné se σ_3 , dojde k jeho porušení. Z výsledného napětí při porušení sestrojíme Mohrovu kružnici. Tento postup se provede pro více vzorků se změnou napětí σ_3 . Pro jiné napětí σ_3 dostaneme odlišné napětí σ_1 . Sestrojí-li se obalová čára daných kružnic, získá se čára pevnosti dle Coulomba, viz obr. 2.3. Z daného grafu lze odečíst úhel vnitřního tření φ a kohezi c .



Obr. 2.2 Zatěžování vzorku [7]



Obr. 2.3 Mohrovo-Coloumbovo zobrazení [7]

2.2.2 Vliv pórového tlaku na pevnost zeminy

Voda významně ovlivňuje mechanické chování zeminy. Působí-li normálové napětí na soudržnou zeminu, část tohoto napětí přenese voda v pórech a část se přenese na pevnou složku zeminy. Napětí vzniklé ve vodě se označuje jako pórový tlak (neutrální napětí) u a napětí, které přenáší zemina je napětí efektivní σ_{ef} . Celkové napětí se označuje jako napětí totální

$$\sigma_{\text{tot}} = \sigma_{\text{ef}} + u. \quad (2.9)$$

Změnou zatížení se změní i velikost pórového tlaku, ten se dále mění i při působení konstantního zatížení (probíhá konsolidace). Je to dáné tím, že voda v pórech nemá kam uniknout. Rychlosť změny pórového tlaku je tedy ovlivněna propustností zeminy. Z toho vyplývá, že konsolidace probíhá rychleji u zemin s větší propustností, jako jsou píska a štěrky. Naopak u zemin s malou propustností, např. jíly, probíhá pomalu, většinou déle než bývá životnost stavby. Z tohoto důvodu se rozlišují totální a efektivní parametry zemin. Totální parametry c_u a φ_u jsou zjišťovány na neodvodněných vzorcích. Charakterizují tedy zeminu, která nestačila zkonsolidovat během životnosti stavby. Naopak efektivní parametry c_{ef} a φ_{ef} jsou zjišťovány na odvodněných (zkonsolidovaných) vzorcích a jsou používány pro zeminy, které zkonsolidují již během výstavby.

S ohledem na vyjádření smykové pevnosti (rovnice 2.8) lze řešení stability provést [5]

- a) v totálních napětích za využití totálních parametrů smykové pevnosti, kdy platí

$$\tau_f = \sigma_{tot} \cdot \operatorname{tg} \varphi_u + c_u. \quad (2.10)$$

Při výpočtu se vychází z totálního zatížení na smykové ploše. Vliv tlaku vody v pórech se neuvažuje, je zahrnut ve smykových parametrech.

b) v efektivních napětích s použitím pórového tlaku u , kdy platí

$$\tau_f = (\sigma_{tot} - u) \cdot \operatorname{tg} \varphi_{ef} + c_{ef} = \sigma_{ef} \cdot \operatorname{tg} \varphi_{ef} + c_{ef}. \quad (2.11)$$

Pro výpočty se někdy používá koeficient pórového tlaku r_u , který je definován jako poměr mezi změrenou hodnotou pórového tlaku a svislým totálním geostatickým napětím v zemině [11]

$$r_u = \frac{u}{\gamma \cdot H}, \quad (2.12)$$

kde γ je objemová tíha zeminy a H je výška zeminy.

2.2.3 Stlačitelnost

Vnesením napětí do zeminy dochází k její deformaci. Nejprve nastává primární deformace, kdy je vytlačována voda z pórů. Při dalším zatěžování nastává deformace sekundární, kdy se deformují pevné částice zeminy. Velikost deformace při daném zatížení je ovlivněna edometrickým modulem přetvárnosti E_{oed} nebo deformačním modulem E_{def} .

Edometrický modul přetvárnosti E_{oed} se používá tam, kde se zemina nemůže deformovat do stran. Deformace tedy probíhá pouze v jednom směru. Naopak modul přetvárnosti je používán v situaci, kdy se zemina může deformovat do stran. Mezi edometrickým modulem E_{oed} a modulem přetvárnosti E_{def} existuje vztah který je definován jako [7]

$$E_{oed} = \frac{1}{\delta} E_{def}, \quad (2.13)$$

$$\delta = 1 - \frac{2\nu^2}{1-\nu}, \quad (2.14)$$

kde ν je Poissonův součinitel.

2.2.4 Základní typy smykových zkoušek

V závislosti na tom, které parametry smykové pevnosti je potřebné získat, rozlišují se následující typy zkoušek [7].

Smyková zkouška neodvodněná, nekonsolidovaná (typ UU), u které nedochází k odvodnění vzorku ani k poklesu pórového napětí ve vzorku. Používá se u soudržných zemin. Výsledkem laboratorní zkoušky jsou totální parametry smykové pevnosti φ_u a c_u . Pro jejich stanovení se používá triaxiální smykový přístroj.

Smyková zkouška odvodněná, konsolidovaná (typ CD), u které dochází k odvodnění vzorku a pórový tlak je nulový. Používá se u nesoudržných zemin. Výsledkem laboratorní zkoušky jsou efektivní parametry smykové pevnosti φ_{ef} a c_{ef} . Pro jejich stanovení se používá smykový krabicový přístroj.

Smykové zkoušky konsolidované, neodvodněné, s měřením pórového tlaku (typ CIUP, CAUP). Tyto zkoušky se provádějí na snykovém triaxiálním přístroji. Používají se na soudržné zeminy. Výsledkem jsou totální i efektivní parametry snykové pevnosti φ_u , c_u a φ_{ef} , c_{ef} .

2.3 Kategorie zemin

Základním parametrem pro pojmenování minerálních zemin je velikost zrna. V tab. 2.2 jsou uvedeny názvy pro každou třídu zrnitosti.

Tab. 2.2 Velikost zrn frakcí [8]

Skupiny zemin	Frakce	Značka	Velikost zrn [mm]
velmi hrubozrnná zemina	velký balvan	LBo	od 630
	balvan	Bo	od 200 do 630 včetně
	valoun	Co	od 63 do 200 včetně
hrubozrnná zemina	štěrk	Gr	od 2,0 do 63 včetně
	hrubozrnný štěrk	CGr	od 20 do 63 včetně
	střednězrnný štěrk	MGr	od 6,3 do 20 včetně
	jemnozrnný štěrk	FGr	od 2,0 do 6,3 včetně
	písek	Sa	od 0,063 do 2,0 včetně
	hrubozrnný písek	CSa	od 0,63 do 2,0 včetně
	střednězrnný písek	MSa	od 0,2 do 0,63 včetně
jemnozrnná zemina	jemnozrnný písek	FSa	od 0,063 do 0,2 včetně
	prach	Si	od 0,002 do 0,063 včetně
	hrubozrnný prach	CSi	od 0,02 do 0,063 včetně
	střednězrnný prach	MSi	od 0,0063 do 0,02 včetně
	jemnozrnný prach	FSi	od 0,002 do 0,0063 včetně
	jíl	CL	do 0,002 včetně

Zeminy se většinou skládají z více frakcí. Hlavní frakce, která předurčuje inženýrské vlastnosti, se označuje podstatným jménem a ve značce je uváděna velkými písmeny. Vedlejší frakce, které ovlivňují vlastnosti zeminy, se označují jedním nebo více přídavnými jmény a ve značce jsou uvedeny malými písmeny [8]. Například písčitý štěrk se označí jako saGr.

Zatřídování zemin do příslušných skupin musí probíhat pouze na základě složení zeminy. Na zatřídování nemá vliv vlhkost ani ulehlost. V úvahu pro zatřídování se berou následující vlastnosti zeminy [9]:

- zrnitost,
- plasticita,
- obsah organických látek,
- geneze.

Zatřídování hrubozrnných a velmi hrubozrnných zemin se provádí pouze na základě zrnitostního rozboru. Jestliže je v zemině zastoupena jemná i hrubá frakce, pak zatřídování této zeminy musí být založeno jak na určení plasticity, tak na zrnitosti zeminy [9].

Jemná frakce zeminy reprezentovaná jílem, siltrem a jílovými minerály, která se může vyskytovat samostatně nebo ve směsi s hrubším materiélem, se obvykle klasifikuje podle plasticity. Plasticita se stanovuje laboratorními zkouškami meze tekutosti w_l a meze plasticity w_p . Stupeň plasticity jemnozrných zemin má být pojmenován pomocí uvedeného názvosloví [9]:

- a) neplasticke,
- b) nízká plasticita,
- c) střední plasticita,
- d) vysoká plasticita.

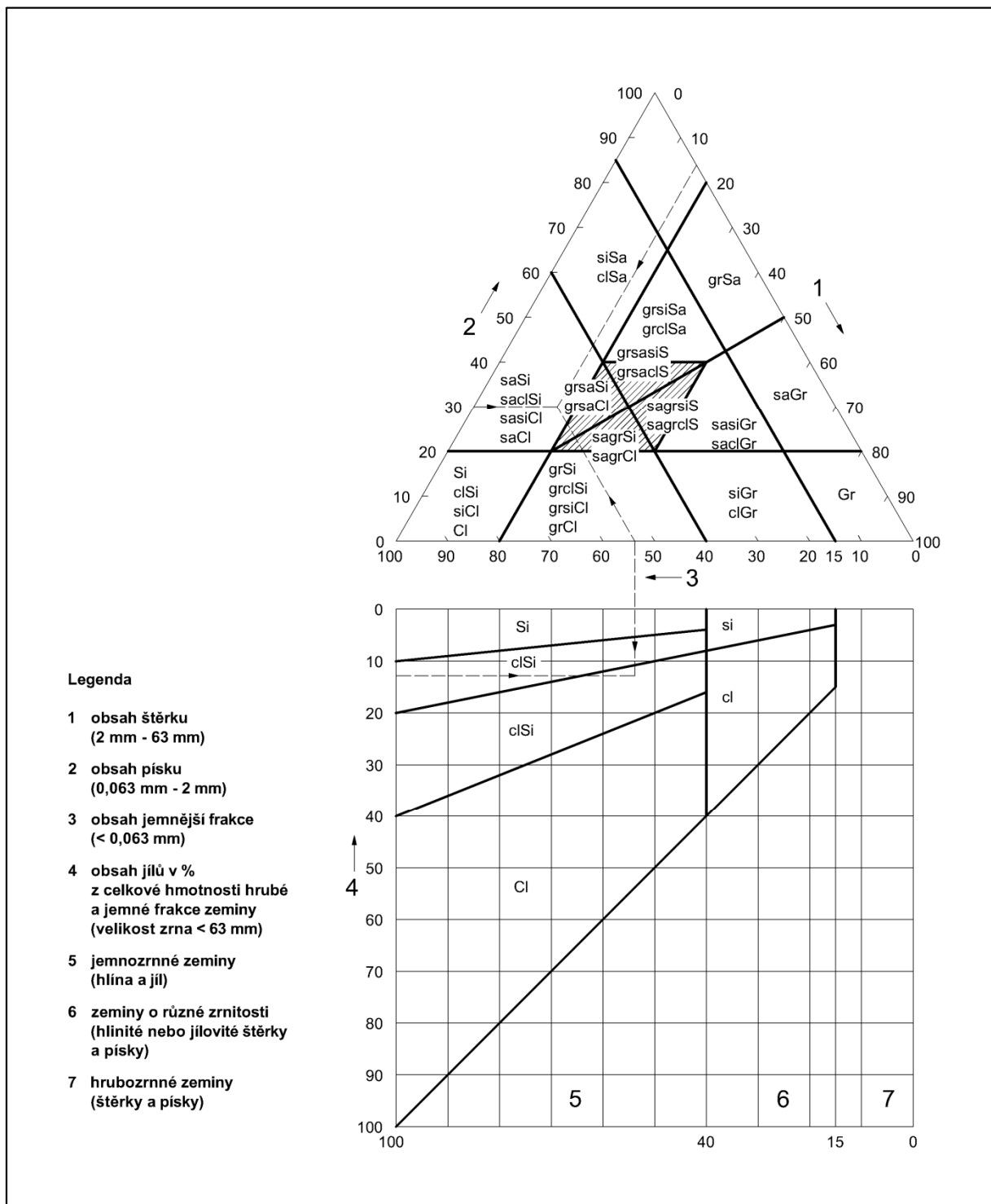
Zeminy se dají zatřídit podle řady dalších parametrů. Patří mezi ně např. ulehlost, stupeň konzistence, stupeň nasycení, propustnost, součinitel stlačitelnosti.

Názvy stupňů konzistence I_c uvádí tabulka 2.3.

Tab. 2.3 Index konzistence I_c prachů a jílů [9]

Konzistence hlín a jílů	Index konzistence
Velmi měkké	< 0,25
Měkké	0,25 až 0,50
Tuhé	0,50 až 0,75
Pevné	0,75 až 1,0
Velmi pevné	> 1,00

Diagram pro zatřídování zeminy pouze na základě zrnitosti je uveden na obr. 2.4. Velmi hrubozrné zeminy se zatřídí mimo tento diagram.



Obr. 2.4 Zatřídování zemin pouze na základě zrnitosti [9]

Pro získání mechanických vlastností pro zatříďenou zeminu je nutné provést laboratorní smykové zkoušky. Starší norma ČSN 73 1001 [10] uvádí pro kategorie zemin mechanické

parametry. Tyto mechanické parametry jsou uvedeny tab. 2.4 pro jílové zeminy F1-F8, v tab. 2.5 pro písčité zeminy S1-S5 a v tab. 2.6 pro štěrkovité zeminy G1-G5, viz [10].

Tab. 2.4 Směrné normové charakteristiky jílovitých zemin [10], [7]

Třída	Symbol	Charakteristika	Konzistence					
			měkká	tuhá	pevná		tvrdá	
			-	-	$S_r > 0,8$	$S_r < 0,8$	$S_r > 0,8$	$S_r < 0,8$
F1	MG	v, δ, γ kN/m ³	$v = 0,35; \delta = 0,62; \gamma = 19,0;$			vyšetří se zkouškami		
		E_{def} MPa	5 až 10	10 až 20	12 až 21	15 až 30		
		c_u kPa	40	70	70	70 až 80		
		φ_u °	0	0	10	12 až 15		
		c_{ef} kPa	4 až 12		8 až 16	12 až 16	16 až 24	
		φ_{ef} °	26 až 32					
F2	CG	v, δ, γ kN/m ³	$v = 0,35; \delta = 0,62; \gamma = 19,5;$			vyšetří se zkouškami		
		E_{def} MPa	4 až 8	7 až 15	10 až 12	18 až 25		
		c_u kPa	30	60	60	60 až 70		
		φ_u °	0	0	10	12 až 15		
		c_{ef} kPa	6 až 14		10 až 18	18 až 36	18 až 26	
		φ_{ef} °	24 až 30					
F3	MS	v, δ, γ kN/m ³	$v = 0,35; \delta = 0,62; \gamma = 18,0;$			vyšetří se zkouškami		
		E_{def} MPa	3 až 6	5 až 8	8 až 12	12 až 15		
		c_u kPa	30	60	60	60 až 70		
		φ_u °	0	0	10	12 až 15		
		c_{ef} kPa	8 až 16		12 až 20	20 až 40	20 až 28	
		φ_{ef} °	24 až 29					
F4	CS	v, δ, γ kN/m ³	$v = 0,35; \delta = 0,62; \gamma = 18,5;$			vyšetří se zkouškami		
		E_{def} MPa	2,5 až 4	4 až 6	5 až 8	8 až 12		
		c_u kPa	30	50	70	70 až 80		
		φ_u °	0	0	5	8 až 14		
		c_{ef} kPa	10 až 18		14 až 22	22 až 44	22 až 30	
		φ_{ef} °	22 až 27					
F5	ML MI	v, δ, γ kN/m ³	$v = 0,40; \delta = 0,47; \gamma = 20,0;$				vyšetří se zkouškami	
		E_{def} MPa	1,5 až 3	3 až 5	5 až 8	7 až 10		
		c_u kPa	30	60	70	70 až 80	200	80 až 90
		φ_u °	0	0	5	8 až 14	0	15 až 20
		c_{ef} kPa	8 až 16		12 až 20	20 až 40	20 až 28	vyšetří se zkouškami
		φ_{ef} °	19 až 23					

Třída	Symbol	Charakteristika	Konzistence					
			měkká	tuhá	pevná		tvrdá	
			-	-	$S_r > 0,8$	$S_r < 0,8$	$S_r > 0,8$	$S_r < 0,8$
F6	CL CI	v, δ, γ kN/m ³	$v = 0,40; \delta = 0,47; \gamma = 20,0;$				vyšetří se zkouškami	
		E_{def} MPa	1,5 až 3	3 až 6	6 až 8	8 až 12	10 až 15	12 až 20
		c_u kPa	25	50	80	80 až 90	170	80 až 90
		φ_u °	0	0	0	4 až 12	0	14 až 18
		c_{ef} kPa	8 až 16		12 až 20	20 až 40	20 až 28	vyšetří se zkouškami
		φ_{ef} °	17 až 21					
F7	MH MV ME	v, δ, γ kN/m ³	$v = 0,40; \delta = 0,47; \gamma = 21,0;$				vyšetří se zkouškami	
		E_{def} MPa	1 až 3	3 až 5	5 až 7	7 až 10	10 až 15	12 až 20
		c_u kPa	25	50	80	80 až 90	170	80 až 90
		φ_u °	0	0	0	4 až 12	0	14 až 18
		c_{ef} kPa	4 až 10		8 až 16	14 až 28	16 až 24	vyšetří se zkouškami
		φ_{ef} °	15 až 19					
F8	CH CV CE	v, δ, γ kN/m ³	$v = 0,42; \delta = 0,37; \gamma = 20,5;$				vyšetří se zkouškami	
		E_{def} MPa	1 až 2	2 až 4	4 až 6	6 až 8	8 až 10	10 až 15
		c_u kPa	20	40	80	80 až 90	150	80 až 90
		φ_u °	0	0	0	3 až 10	0	12 až 16
		c_{ef} kPa	2 až 8		8 až 14	14 až 28	14 až 22	vyšetří se zkouškami
		φ_{ef} °	13 až 17					

Tab. 2.5 Směrné normové charakteristiky písčitých zemin [10], [7]

Třída	Symbol	ν [-]	δ [-]	γ [kN/m ³]	E_{def} [MPa]		φ_{ef} [°]		c_{ef} [kPa]
					$I_D =$ 0,33 až 0,67	$I_D =$ 0,67 až 1,0	$I_D =$ 0,33 až 0,67	$I_D =$ 0,67 až 1,0	
S1	SW	0,28	0,78	20	30 až 60	50 až 100	34 až 39	37 až 42	0
S2	SP	0,28	0,78	18,5	15 až 35	30 až 50	32 až 35	34 až 37	0
S3	S-F	0,30	0,74	17,5	12 až 19	17 až 25	28 až 31	30 až 33	0
S4	SM	0,30	0,74	18	5 až 15		28 až 30		0 až 10
S5	SC	0,35	0,62	18,5	4 až 12		26 až 28		4 až 12

Tab. 2.6 Směrné normové charakteristiky štěrkových zemin [10], [7]

Třída	Symbol	ν [-]	δ [-]	γ [kN/m ³]	E_{def} [MPa]		φ_{ef} [°]		c_{ef} [kPa]
					$I_D =$ 0,33 až 0,67	$I_D =$ 0,67 až 1,0	$I_D =$ 0,33 až 0,67	$I_D =$ 0,67 až 1,0	
G1	GW	0,20	0,90	21	250 až 390	360 až 500	36 až 41	39 až 44	0
G2	GP	0,20	0,90	20	100 až 190	170 až 250	33 až 38	36 až 41	0
G3	G-F	0,25	0,83	19	80 až 90	90 až 100	30 až 35	33 až 38	0
G4	GM	0,30	0,74	19	60 až 80		30 až 35		0 až 8
G5	GC	0,30	0,74	19,5	40 až 60		28 až 32		2 až 10

3 Klasické metody řešení stability svahů

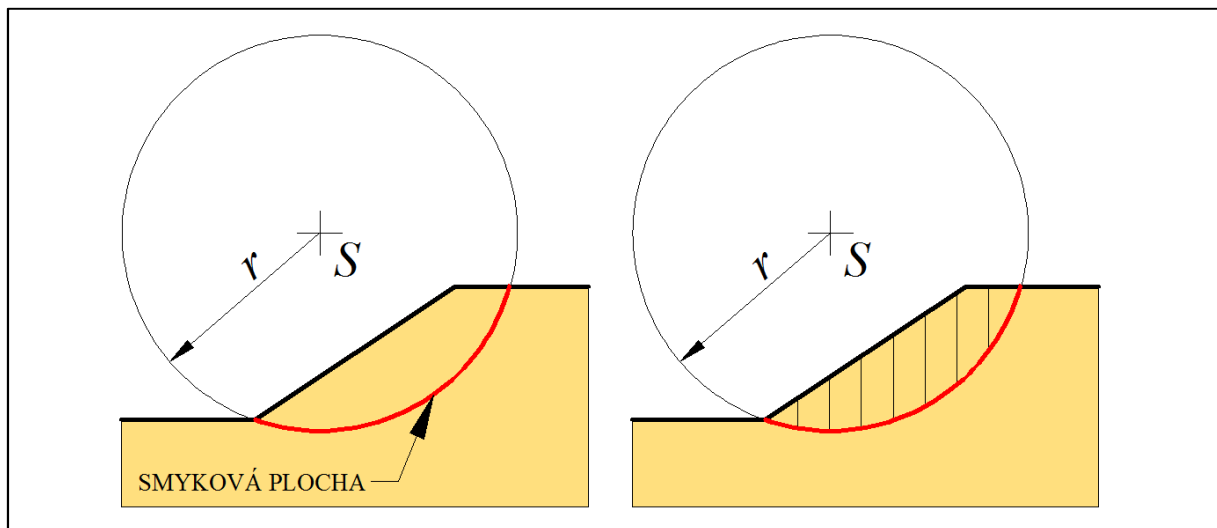
Na zemní těleso může působit celá řada silových účinků. Tyto účinky se můžou rozdělit na aktivní, které způsobují jeho nestabilitu, a pasivní, které naopak přispívají ke stabilitě. Jejich porovnáním lze u klasických metod určit tzv. stupeň stability F , který udává míru stability daného zemního tělesa. Jestliže aktivní a pasivní silové účinky jsou v rovnováze, svah je ve stavu indiferentním a stupeň stability $F = 1$. Pokud je tedy stupeň stability $F > 1$ (převažují pasivní síly), svah je stabilní a naopak, pokud $F < 1$, svah je labilní (nestabilní). Principem metod je nalezení takové smykové plochy, po které dojde nejsnáze k usmýknutí [12]. Hledá se tedy případ, kdy stupeň stability je minimální. Tvar smykových ploch může být různý. U nesoudržných zemin je tvar smykových ploch roviný a u soudržných zemin je nejčastěji kruhový. Těmito metodami nelze získat průběhy deformací a napětí. Doporučená hodnota minimálního stupně stability je podle [3] pro svahy v písčitých zeminách $F = 1,2$ a v jílovitých zeminách $F = 1,5$.

Pro výpočet stupně stability F se používají různé metody. Mezi nejznámější patří metoda Pettersonova a Bishopova. Tyto metody uvažují kruhovou smykovou plochu. Zemní těleso nad smykovou plochou se rozdělí na určitý počet proužků, proto se též označují jako tzv. proužkové metody. Bishopova metoda na rozdíl od metody Pettersonovy uvažuje s vlivem spolupůsobení sousedních proužků a je metodou iterační.

Mezi další klasické metody patří Janbuova a Spencerova metoda, které uvažují místo kružnice polygon. Oblast nad smykovou plochou se u těchto metod rozdělí na bloky, na kterých se poté počítají podmínky rovnováhy.

3.1 Pettersonova metoda

Pro výpočet stability svahu soudržných zemin se často pro svou jednoduchost používá Pettersonova metoda. Smyková plocha se uvažuje jako válcová, v rovině tedy jako kruhová. Výpočet se provádí v rovině.



Obr. 3.1 Petterssonova metoda - rozdělení na proužky

Nejprve je nutné určit geometrii profilu daného svahu. Poté se zvolí předpokládaná smyková plocha, která je definována pomocí kružnice se středem S a poloměrem r . Oblast nad smykovou plochou se rozdělí na proužky, viz obr. 3.1. Čím více proužků se zvolí, tím bude výsledek přesnější, ale výpočet bude pracnější.

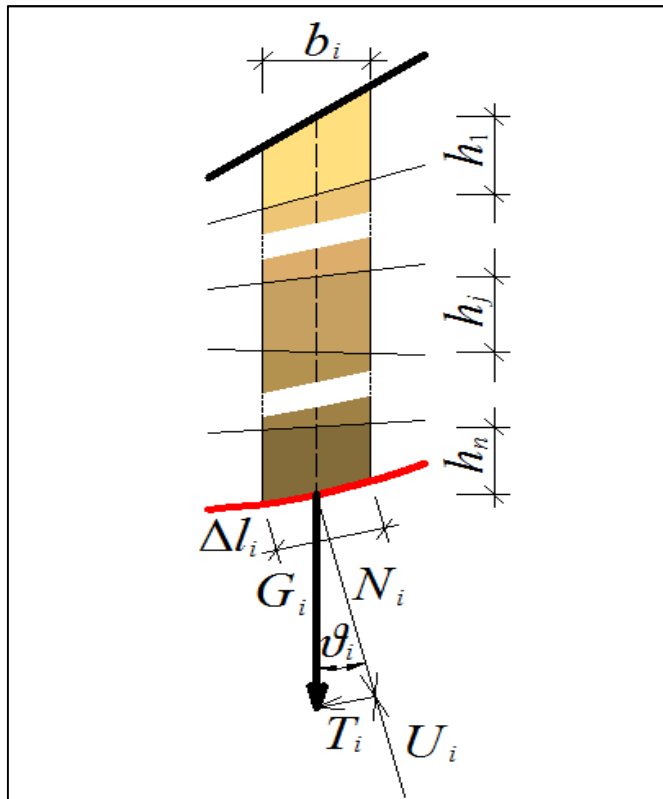
Pro proužek se vypočítá jeho tíha G_i a tato síla se rozloží na tečnou T_i a normálovou N_i vzhledem ke smykové ploše, takže

$$G_i = b_i \cdot \sum_{j=1}^n h_j \cdot \gamma_j, \quad i = \{1 \dots m\}, j = \{1 \dots n\}, \quad (3.1)$$

$$N_i = G_i \cdot \cos \vartheta_i, \quad (3.2)$$

$$T_i = G_i \cdot \sin \vartheta_i, \quad (3.3)$$

kde m je počet proužků, n je počet vrstev zemin v daném proužku, b_i je šířka proužku, h_j je výška vrstvy zeminy, γ_j je objemová tíha zeminy a ϑ_i je úhel odklonu normálové síly N_i od tíhové síly G_i (viz obr. 3.2).



Obr. 3.2 Pettersonova metoda – proužek

Porovnáním momentu pasivních a aktivních sil získáme stupeň stability

$$F = \frac{M_{\text{pasiv}}}{M_{\text{aktiv}}} = \frac{\sum_{i=1}^m (N_i - U_i) \operatorname{tg} \varphi_i + c_i \sum_{i=1}^m \Delta l_i}{\sum_{i=1}^m T_i}, \quad (3.4)$$

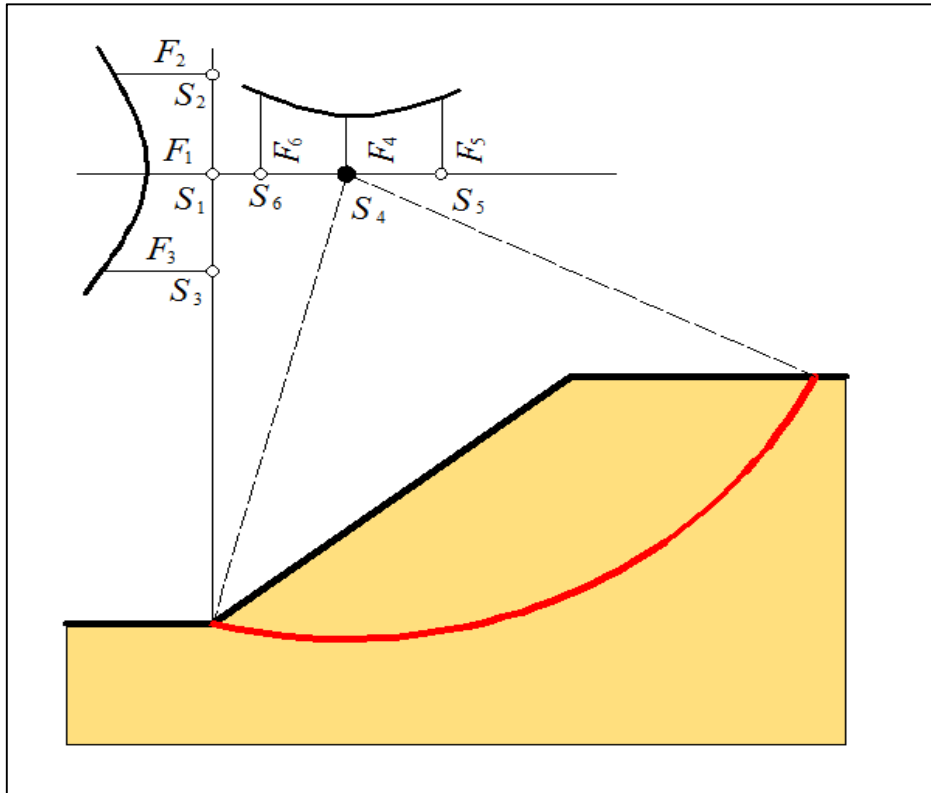
$$U_i = u_i \Delta l_i , \quad (3.5)$$

kde M_{pasiv} je moment pasivních sil, M_{aktiv} je moment aktivních sil, φ_i je úhel vnitřního tření zeminy a c_i je koheze zeminy, kterou prochází smyková plocha, Δl_i je délka smykové plochy daného proužku, U_i je výslednice pórového tlaku u .

Někteří autoři uvažují pouze 80 % délky smykové plochy, viz [7], [3]. Je to z důvodu vzniku tahových trhlinek v horní části smykové plochy, kde není koheze účinná. Stupeň stability se poté počítá jako

$$F = \frac{M_{\text{pasiv}}}{M_{\text{aktiv}}} = \frac{\sum_{i=1}^m (N_i - U_i) \operatorname{tg} \varphi_i + 0,8 c_i \sum_{i=1}^m \Delta l_i}{\sum_{i=1}^m T_i}. \quad (3.6)$$

Daná metoda neuvažuje vliv sousedních proužků. Pro zjištění stupně stability daného svahu hledáme takovou kružnicí, pro kterou bude stupeň stability minimální. Střed kružnice takové kružnice lze nalézt dle obr. 3.3.



Obr. 3.3 Stanovení nebezpečné smykové plochy [7]

3.2 Bishopova metoda

Jak již bylo uvedeno výše, Bishopova metoda na rozdíl od metody Pettersonovy nezanedbává vliv sousedních proužků. Výpočet se provádí iteračně, kdy se zvolí počáteční stupeň stability, který je v každé iteraci upřesňován, dokud nedosáhne požadované přesnosti. Jako výchozí stupeň stability lze výhodně zvolit stupeň podle Pettersonovy metody. Definování smykové

plochy, její rozdelení na proužky a určení normálových a tangenciální sil se provede stejně jako u Pettersonovy metody. Výpočet stupně stability F se provede dle vztahu

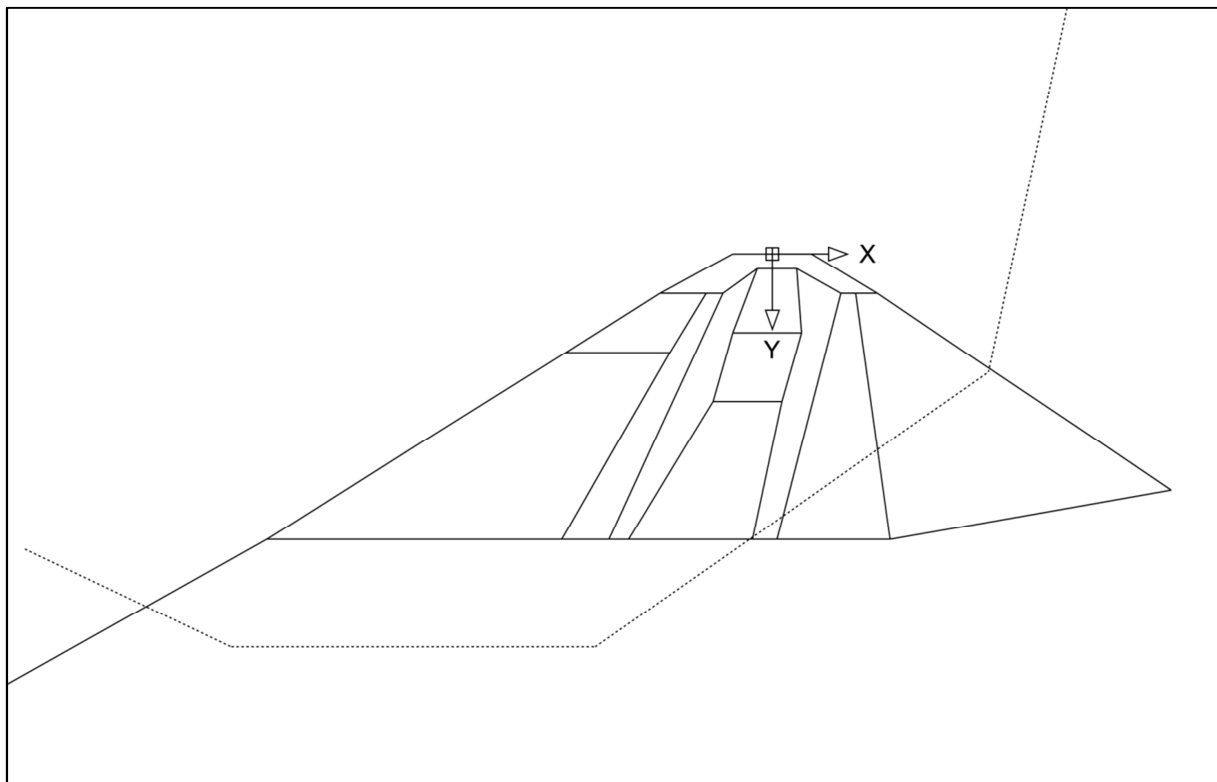
$$F_j = \frac{1}{\sum_{i=1}^m T_i} \sum_{i=1}^m \frac{c_i b_i + (G_i - u_i b_i) \operatorname{tg} \varphi_i}{N_i + \frac{\operatorname{tg} \varphi_i T_i}{F_{j-1}}}, \quad (3.7)$$

kde G_i je tíhová síla určená dle vztahu (3.1), N_i je normálová síla určená dle vztahu (3.2), T_i je tangenciální síla určená dle vztahu (3.3), φ_i je úhel vnitřního tření zeminy, kterou prochází smyková plocha, c_i je koheze zeminy, kterou prochází smyková plocha, b_i je šířka daného proužku, u_i je pórový tlak a j je krok iterace.

3.3 Algoritmus řešení

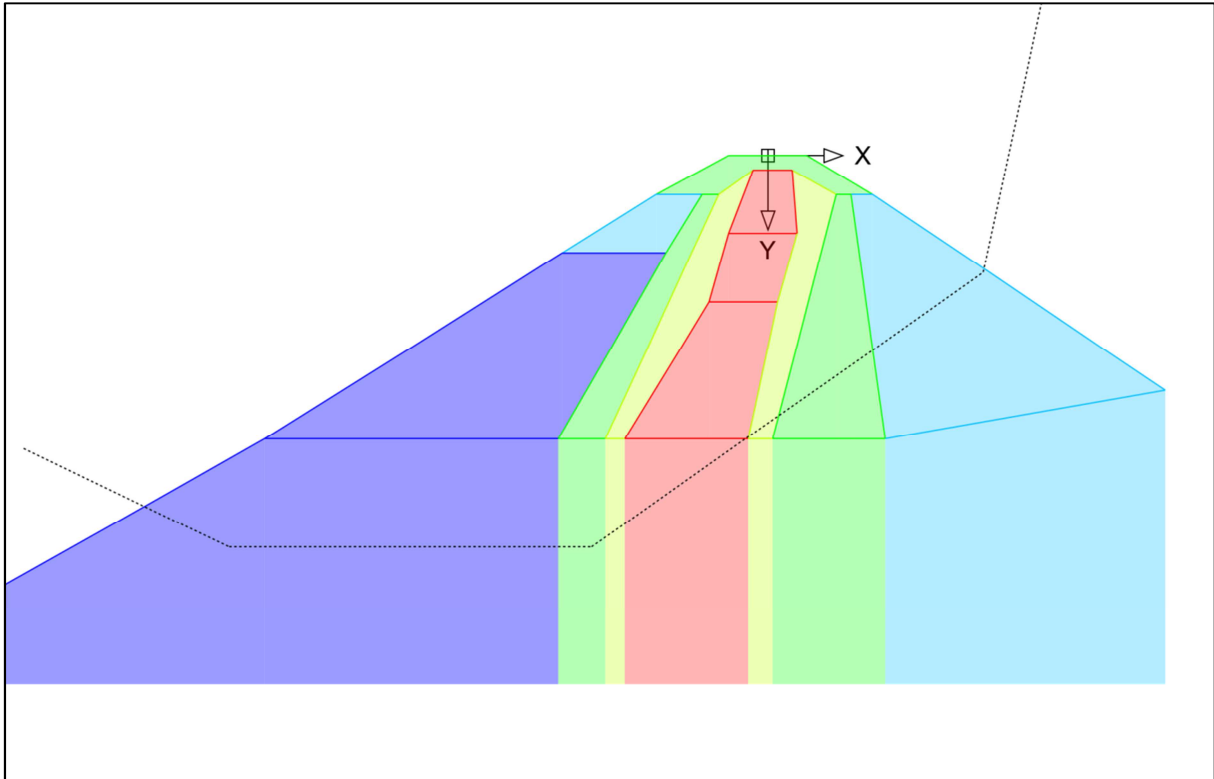
Pokud se provádí výpočet stupně stability F podle výše uvedených metod pouze pro jednu kružnici, je výpočet celkem nenáročný. Záleží ovšem na složitosti zemního profilu a na zvoleném počtu proužků. Jestliže se však hledá minimální stupeň stability pro celý svah, tedy iteracně se mění střed a poloměr kružnice a výpočet se provádí opakovaně, časové nároky extrémně vzrostou. Z tohoto důvodu byl vytvořen vlastní program [1], který výpočet výrazně urychlí.

Nejprve je nutné definovat vstupní hodnoty výpočtu. Mezi ně patří geometrie svahu, materiály, omezující podmínky, metoda integrace, metoda pro řešení stability svahu, přesnost výpočtu aj.



Obr. 3.4 Určení geometrie pro výpočet [1]

Geometrie svahu je definována pomocí úseček. Úsečky se nesmí křížit a nesmí být svislé. Pro inicializaci materiálů je nutné definovat objemovou tihu γ , úhel vnitřního tření φ , kohezi c a koeficient pórového tlaku r_u . Dále je možné zadat název a barvu z důvodu grafického rozlišení. Zadané materiály je možné přiřadit k úsečkám, přičemž se uvažuje, že daný materiál se nachází pod úsečkou, ke které byl přiřazen. Na obr. 3.4 je zobrazena geometrie příčného profilu svahu, která je určena plnými úsečkami. Na obr. 3.5 je pak zobrazena geometrie tvořená úsečkami, ke kterým jsou přiřazeny materiály.



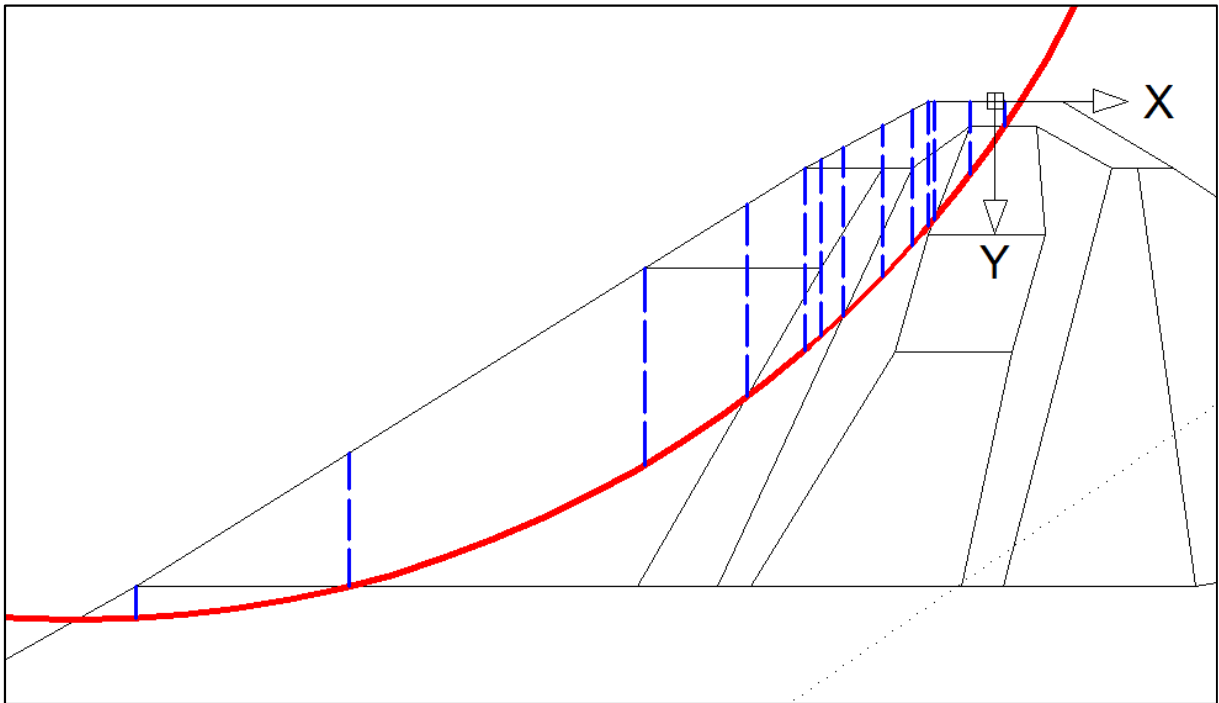
Obr. 3.5 Přiřazení materiálů k úsečkám [1]

Pro určení stupně stability je nutné zvolit smykovou plochu, podél níž dojde k usmyknutí části svahu. Smyková plocha je určena kružnicí se středem S a poloměrem r . Pokud se provádí opakovaný výpočet, při kterém se mění poloměr kružnice r nebo střed S je nutné definovat omezující podmínky. Ty jsou určeny omezujícími úsečkami, které jsou na obr. 3.4 a 3.5 zobrazeny tečkovanými čarami.

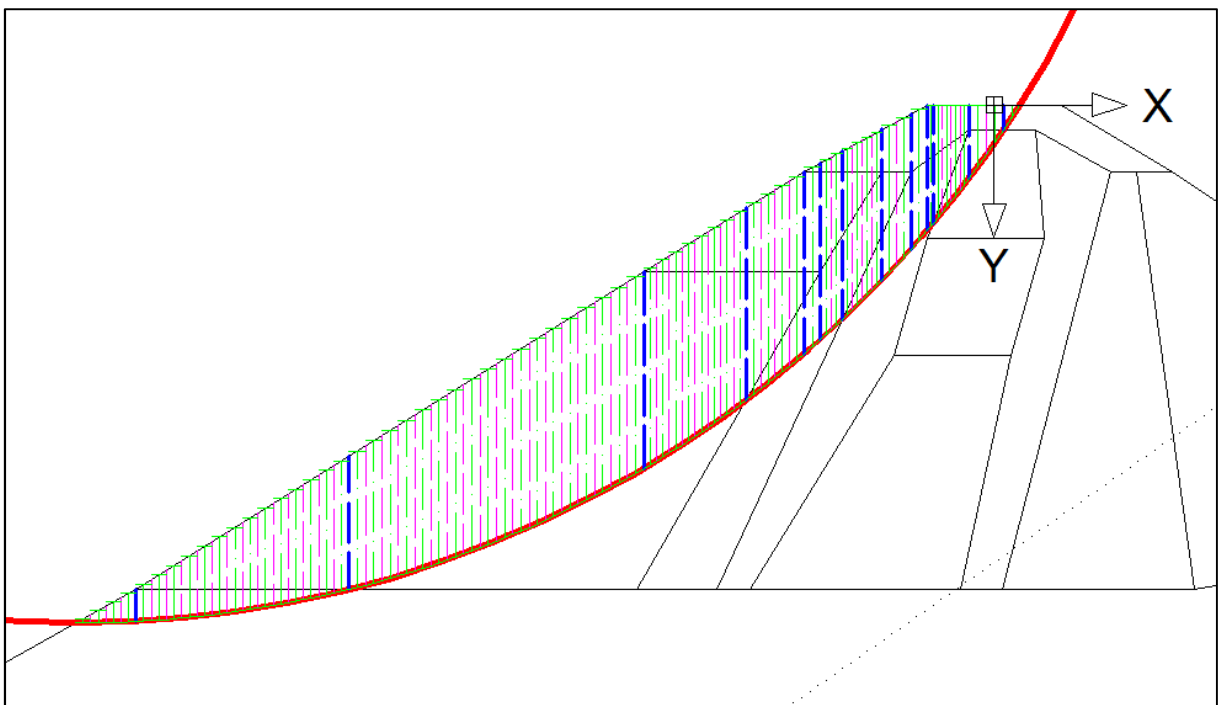
Program umožňuje provádět numerickou integraci pomocí obdélníkového či Simpsonova pravidla. Určení stupně stability lze provést dle Pettersona nebo Bishopa.

Postup výpočtu pro jednu kružnici s daným středem S a poloměrem r je následující. Nejprve se vyberou ty úsečky, které protínají kružnici. Jejich vzdálenost od středu kružnice S je tedy menší než poloměr kružnice r . Poté se určí intervaly na ose x . Pro celý interval musí platit, že obsahuje konstantní počet úseček. Rozdělení na intervaly je zobrazeno na obr. 3.6 modrými čárkovanými úsečkami a smyková plocha červenou částí kružnice. Každý interval je tedy

definován počáteční a konečnou souřadnicí x a seznamem úseček, které se v daném intervalu vyskytují. Tyto úsečky jsou v seznamu seřazeny podle souřadnice y .



Obr. 3.6 Rozdělení na intervaly



Obr. 3.7 Rozdělení intervalů na proužky

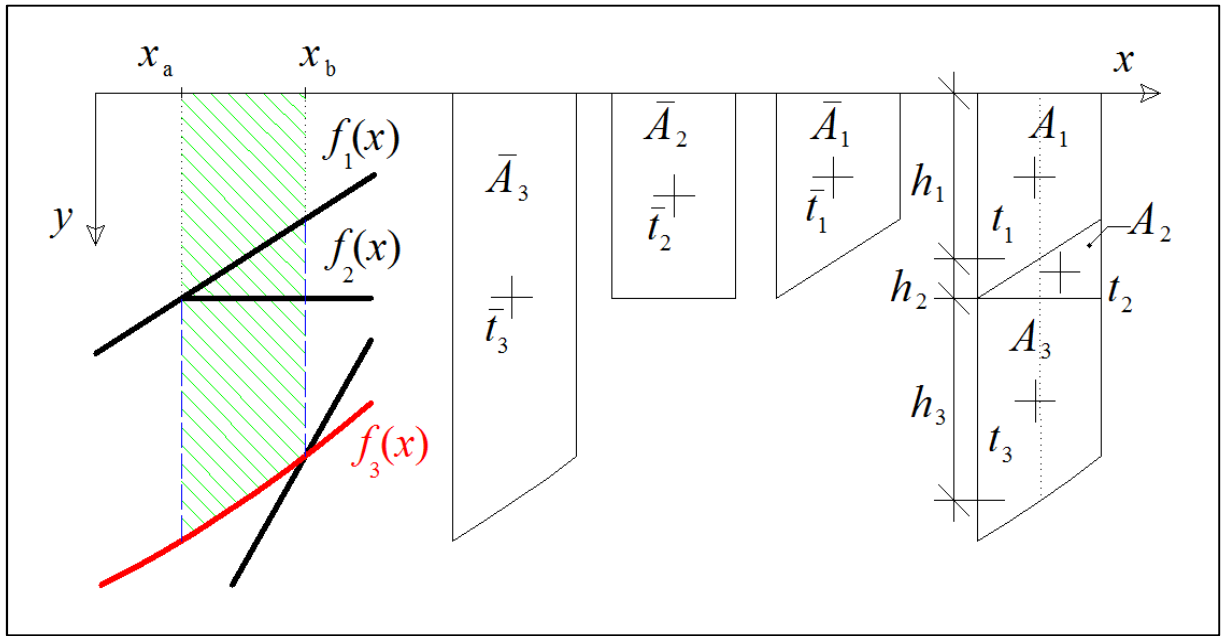
Intervaly lze poté integrovat podle obdélníkového či Simpsonova pravidla. Pokud se provádí integrace podle obdélníkového pravidla, daný interval se rozdělí na obdélníky (proužky) dle

požadované přesnosti, viz obr. 3.7. Čím více proužků, tím větší přesnost. Proužek může být po výšce rozdelen na více vrstev, jestliže interval, ve kterém se vyskytuje, obsahuje více než jednu úsečku, viz obr. 3.2. Zjistíme-li výšky jednotlivých vrstev proužku h_j , můžeme určit dle vztahu (3.1) tíhu každého proužku G_i , která se poté rozloží na normálovou sílu N_i a tangenciální sílu T_i podle vztahu (3.2) a (3.3).

Pokud se integrace provádí pomocí Simpsonova pravidla je postup následující. Pro jeden interval i se nejprve určí plochy lichoběžníků \bar{A}_1, \bar{A}_2 a jejich těžiště \bar{t}_1 a \bar{t}_2 (zde, i v dalším textu, je na mysli pouze x -ová souřadnice těžiště) viz obr 3.8. Lichoběžníky jsou omezeny ve směru x počáteční x_a a koncovou x_b souřadnicí a ve směru y souřadnou osou x a úsečkami. Každý lichoběžník má boční strany svislé. Proloží-li se úsečkami přímky, u kterých je znám jejich funkční předpis, je výpočet ploch jednoduchý

$$\bar{A}_j = \frac{f_j(x_b) - f_j(x_a)}{2} \cdot (x_b - x_a). \quad (3.8)$$

V příkladu na obr. 3.8 je $j = 1,2$. Funkce přímky $f_j(x)$, která je proložena danou úsečkou, x_a je x -ová souřadnice počátku intervalu a x_b je x -ová souřadnice konce intervalu.



Obr. 3.8 Výpočet ploch a jejich těžišť

Podle následujících vztahů se určí x -ová souřadnice těžiště dané plochy

$$\bar{t}_j = \frac{k_j \cdot \left(\frac{x_b^3}{3} - \frac{x_a^3}{3} \right) + q_j \cdot \left(\frac{x_b^2}{2} - \frac{x_a^2}{2} \right)}{\bar{A}_j}, \quad (3.9)$$

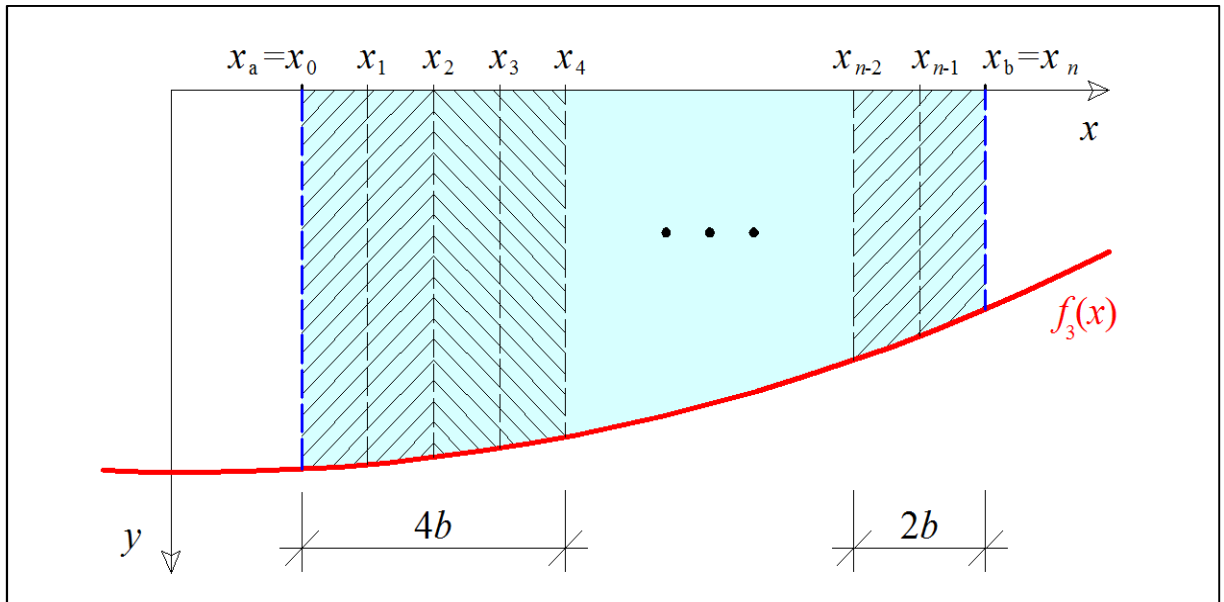
$$y = k \cdot x + q, \quad (3.10)$$

kde k_j a q_j jsou členy ze směrnicové rovnice přímky, viz rovnice (3.10). Daná přímka je proložená úsečkou omezující plochu, u které se počítá těžiště, viz obr. 3.8.

Plocha a její těžiště, kterou ohraničuje kružnice, se vypočítá pomocí Simpsonova pravidla. Na obr. 3.8 je to plocha \bar{A}_3 a těžiště \bar{t}_3 . Postup integrace je následující. Nejprve se určí šířka podintervalu

$$b = \frac{x_b - x_a}{n}, \quad (3.11)$$

kde n je počet podintervalů a pro Simpsonovo pravidlo musí být sudý. Počet podintervalů se určí podle požadované přesnosti. Čím větší je n , tím větší bude přesnost numerického řešení integrálu, viz obr. 3.9.



Obr. 3.9 Simpsonovo pravidlo

Plocha intervalu se určí dle vztahu

$$\begin{aligned} \bar{A}_3 &= \int_{x_a}^{x_b} f_3(x) dx \approx \frac{b}{3} [f_3(x_0) + 4f_3(x_1) + 2f_3(x_2) + 4f_3(x_3) + \dots \\ &\quad + 2f_3(x_{n-2}) + 4f_3(x_{n-1}) + f_3(x_n)]. \end{aligned} \quad (3.12)$$

Pro výpočet těžiště platí vztahy

$$\begin{aligned} \bar{I}_3 &= \int_{x_a}^{x_b} f_3(x)x dx \approx \frac{b}{3} [x_0 f_3(x_0) + 4x_1 f_3(x_1) + 2x_2 f_3(x_2) + 4x_3 f_3(x_3) + \dots \\ &\quad + x_{n-2} f_3(x_{n-2}) + x_{n-1} f_3(x_{n-1}) + x_n f_3(x_n)], \end{aligned} \quad (3.13)$$

$$\bar{t}_3 = \frac{\bar{I}_3}{\bar{A}_3}. \quad (3.14)$$

Známé jsou tedy plochy a jejich těžiště \bar{A}_1 a \bar{t}_1 , \bar{A}_2 a \bar{t}_2 , \bar{A}_3 a \bar{t}_3 (výpočet byl proveden Simpsonovým pravidlem), viz obr. 3.8. Dále je potřeba spočítat plochy a jejich těžiště A_2 a t_2 , A_3 a t_3 . Plochy a těžiště se určí podle vztahů

$$A_j = \bar{A}_j - \bar{A}_{j-1}, \quad (3.15)$$

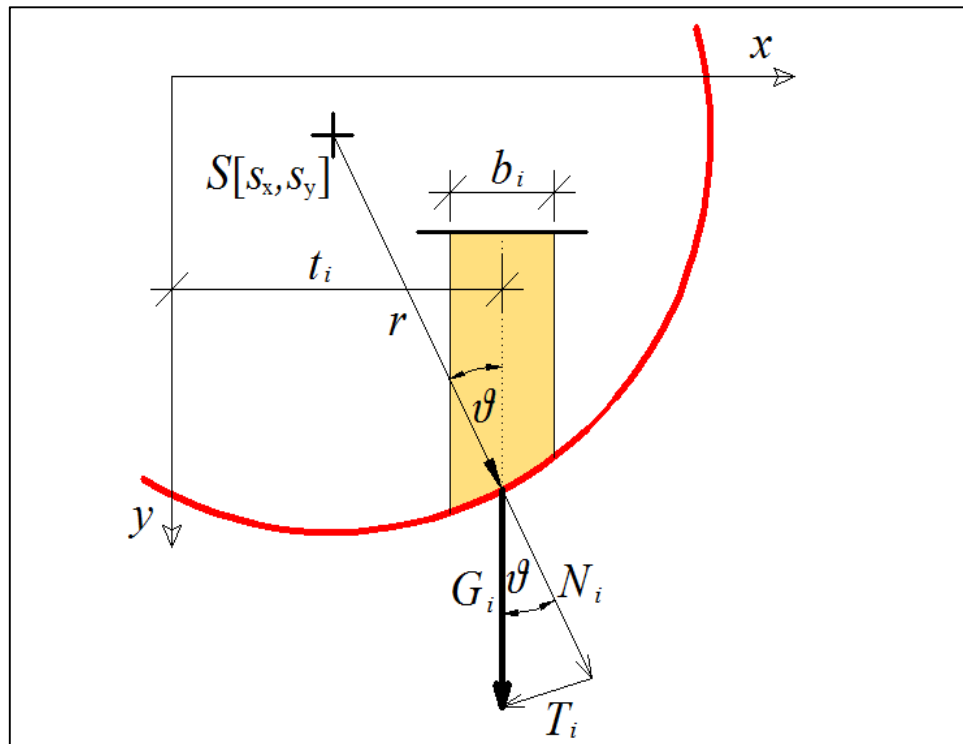
$$t_j = \frac{\bar{A}_j \cdot \bar{t}_j - \bar{A}_{j-1} \cdot \bar{t}_{j-1}}{A_j}. \quad (3.16)$$

K určení pórových tlaků je dále nutné vypočítat výšku jednotlivých vrstev h_j . Ty se počítají uprostřed intervalu, viz obr. 3.8. U každé plochy je známý materiál, neboť je přiřazen k úsečce, pod kterou je daná plocha umístěna. Může se tedy vypočítat těžová síla a její těžiště

$$G_i = \sum_{j=2} A_j \cdot \gamma_j. \quad (3.17)$$

$$t_i = \frac{\sum_{j=2} A_j \cdot t_j \cdot \gamma_j}{\sum_{j=2} A_j \cdot \gamma_j} \quad (3.18)$$

Pro rozklad těžové síly na normálovou N_i a tangenciální T_i je nutné určit úhel ϑ , viz obr. 3.10.



Obr. 3.10 Stanovení úhlu ϑ

Platí

$$\vartheta = \arcsin\left(\frac{t_i - s_x}{r}\right), \quad (3.19)$$

kde t_i je x -ová souřadnice těžiště daného proužku, s_x je x -ová souřadnice středu kružnice a r je poloměr kružnice.

Nebezpečnou smykovou plochu lze nalézt, provádí-li se výpočet opakováně se změnou poloměru kružnice r a jejího středu S . Hledání středu kritické kružnice S se provádí na principu podle obr. 3.3. Nejprve se ve směru y hledá S_1 , kdy $F_1 < F_2$ a $F_1 < F_3$. Poté se ve směru x hledá S_4 , kdy $F_4 < F_5$ a $F_4 < F_6$. Veškerá změna poloměru kružnice r a středu S se provádí podle nastavené přesnosti.

Podle výše popsáного algoritmu byl napsán program [1] v jazyce C# na platformě .NET Framework 4.0. Je použita technologie WPF. Po spuštění programu se zobrazí pracovní plocha, která je rozdělena na grafické okno a příkazový řádek. V grafickém okně, je zobrazena ikona souřadného systému a definovaná geometrie. Geometrii lze zadávat přímo v grafickém okně kliknutím do plochy, pomocí příkazového řádku nebo ji lze importovat ve formátu DXF. V programu je dále možné definovat libovolný počet materiálů, které lze přiřadit úsečkám. Výpočet lze provést Pettersonovou nebo Bishopovou metodou. Integrovat lze obdélníkovým nebo Simpsonovým pravidlem. Výsledky lze ukládat do seznamu a porovnávat. Vypočtená a zadaná data je možné ukládat do souboru.

4 Numerické modelování metodou konečných prvků

Pro získání stupně stability svahu se ve výpočtech metodou konečných prvků (MKP) používá metoda redukce smykových parametrů (SSR – Shear Strength Reduction) společně s využitím vhodného materiálového modelu s vnitřním třením postihujícím plastické chování. Mezi vhodné materiálové modely vystihující chování zemin patří Mohrův-Coulombův, Druckerův-Pragerův materiálový model aj. Při modelování MKP je nutné se zabývat přesností, stabilitou a časovou náročností výpočtu.

4.1 Metoda redukce smykových parametrů pevnosti

Metoda redukce smykových parametrů pevnosti (SSR) je metoda, pomocí níž lze získat stupeň stability metodou konečných prvků. Principem řešení je iterační výpočet, kdy se v každém kroku redukuje (zvyšuje či snižuje) smykové parametry φ a c . Velikost redukce závisí na stupni stability F . V každém kroku se po redukci parametrů provede výpočet. Závislost mezi smykovými parametry a stupněm stability je [15]

$$\varphi^i = \text{atan} \left(\frac{\tan \varphi}{F^i} \right), \quad (4.1)$$

$$c^i = \frac{c}{F^i}, \quad (4.2)$$

kde i je číslo kroku iterace. Některé publikaci např. [13] uvádějí jinou závislost mezi redukovanými smykovými parametry a stupněm stability

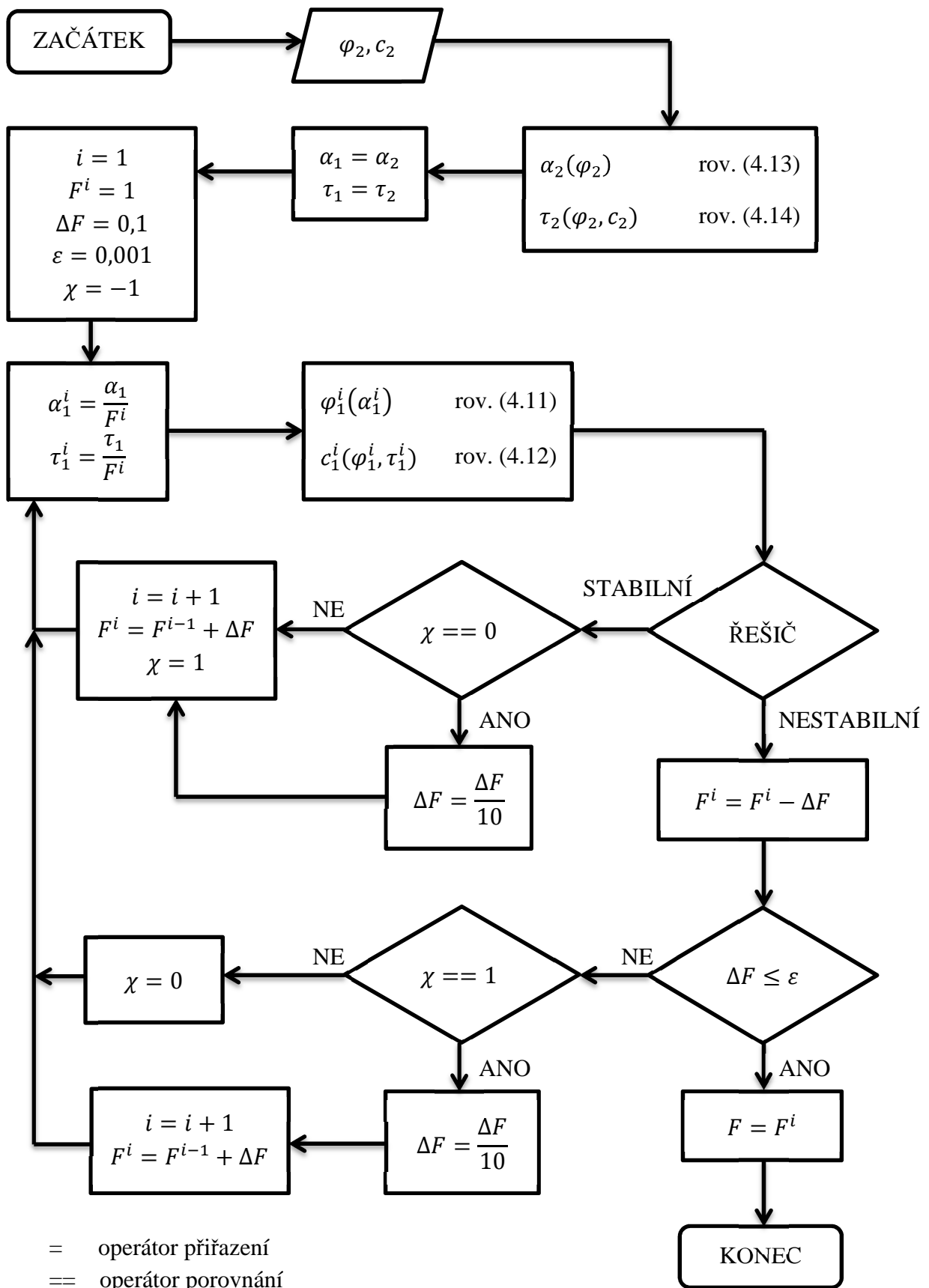
$$\alpha^i = \frac{\alpha}{F^i}, \quad (4.3)$$

$$\tau^i = \frac{\tau}{F^i}, \quad (4.4)$$

kde α a τ jsou koeficienty, které charakterizují materiál v Druckerově-Pragerově materiálovém modelu, viz kap. 4.3.

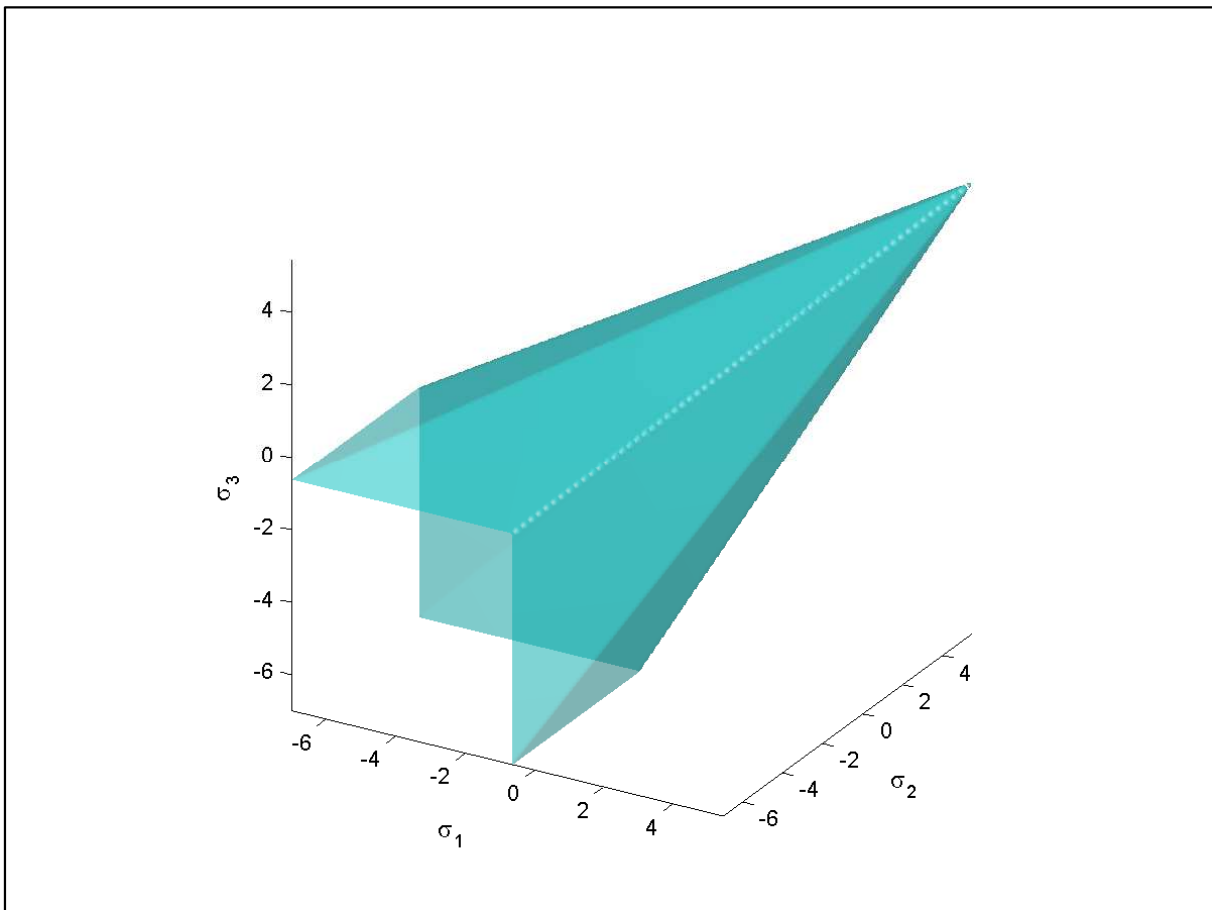
Hledá se kombinace nejnepříznivějších hodnot φ^i a c^i a tedy maximální F viz rovnice (4.1) až (4.4). Zde je rozdíl od klasických metod, kde se hledá minimální F . U klasických metod se nemění pevnostní charakteristiky materiálů a hledá se nebezpečná smyková plocha. U SSR se naopak mění pevnostní charakteristiky materiálů a nebezpečná smyková plocha je dána výpočtem.

Dále je uveden vývojový diagram výpočtu stupně stability F metodou SSR a dle daného diagramu je napsáno makro do programu ANSYS, které obsahuje příloha 1. Na vývojovém diagramu je provedena redukce smykových parametrů na Druckerův-Pragerův ekvivalentní kužel, viz kap. 4.3. Dolní indexy označují variantu Druckerova-Pragerova materiálového modelu (1 – opsaný kužel, 2 – ekvivalentní kužel, 3 – vepsaný kužel). Horní index i označuje číslo kroku iterace, ε udává přesnost výpočtu.

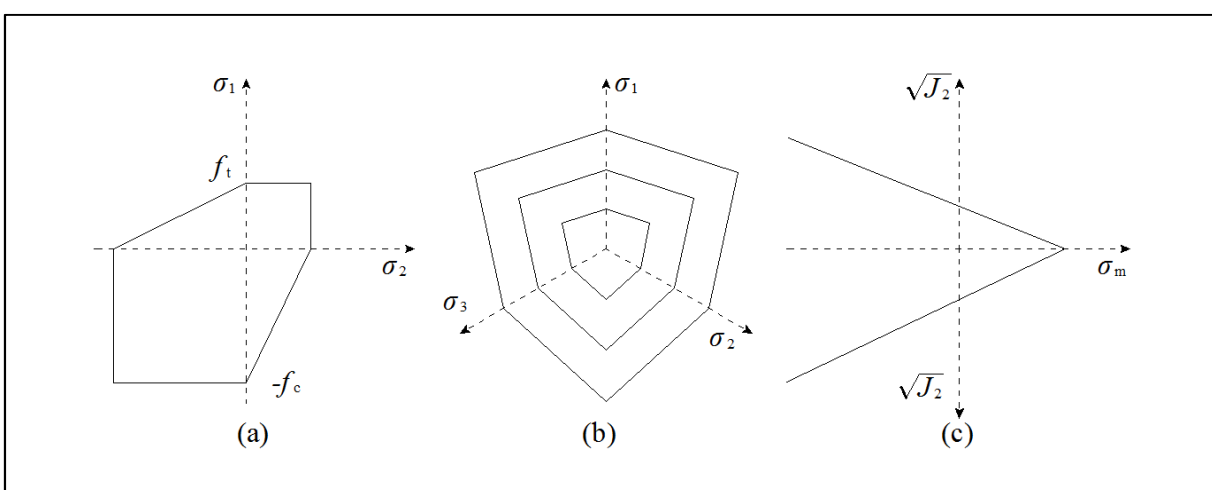
Vývojový diagram pro výpočet stupně stability F 

4.2 Mohrova-Coulombova podmínka plasticity

Mohrova-Coulombova podmínka plasticity se používá pro materiály s vnitřním třením. Je zobecněním Trescovy podmínky plasticity [2]. Nejlépe vystihuje chování zemin.



Obr. 4.1 Mohrova-Coulombova plocha plasticity [14]



Obr. 4.2 Řezy Mohrovou-Coulombovou plochou plasticity: (a) řez odpovídající rovinné napjatosti, (b) deviatorické řezy pro různé úrovně středního napětí, (c) meridiány [2].

Ve Westergaardově prostoru představuje šestiboký jehlan (viz obr. 4.1), jehož osa je totožná s hydrostatickou osou. V meridiánovém řezu je plasticky přípustná oblast zobrazena jako klín a deviatorické řezy představují šestiúhelníky, viz obr. 4.2.

Funkce plasticity má tvar [2]

$$f(\boldsymbol{\sigma}) = \sigma_{\max}(\boldsymbol{\sigma}) - \frac{1 - \sin \varphi}{1 + \sin \varphi} \sigma_{\min}(\boldsymbol{\sigma}) - \frac{2c \cdot \cos \varphi}{1 + \sin \varphi}, \quad (4.5)$$

$$\sigma_{\max} = \max(\sigma_1, \sigma_2, \sigma_3), \quad (4.6)$$

$$\sigma_{\min} = \min(\sigma_1, \sigma_2, \sigma_3), \quad (4.7)$$

kde σ_1 , σ_2 a σ_3 jsou hlavní napětí. Pro nulový úhel vnitřního tření φ přejde Mohrova-Coulombova podmínka plasticity v Trescovu.

Významnou nevýhodou tohoto materiálového modelu je, že nemá hladké plochy plasticity. Což je problematické z hlediska numerického řešení. Tuto nevýhodu lze eliminovat použitím Druckerova-Pragerova materiálového modelu.

4.3 Druckerova-Pragerova podmínka plasticity

Jako Mohrova-Coulombova podmínka plasticity, tak se i Druckerova-Pragerova (DP) podmínka plasticity používá pro materiály s vnitřním třením. Je zobecněním Misesovy podmínky plasticity. Ve Westergaardově prostoru představuje plocha plasticity kužel osově symetrický podél hydrostatické osy [2], viz obr. 4.3. Plocha plasticity je tedy hladká, což je výhodné z hlediska numerického řešení. Deviatorickým řezem je kružnice, jejíž poloměr závisí na středním napětí σ_m . V meridiánovém řezu je plasticky přípustná oblast zobrazena jako klín.

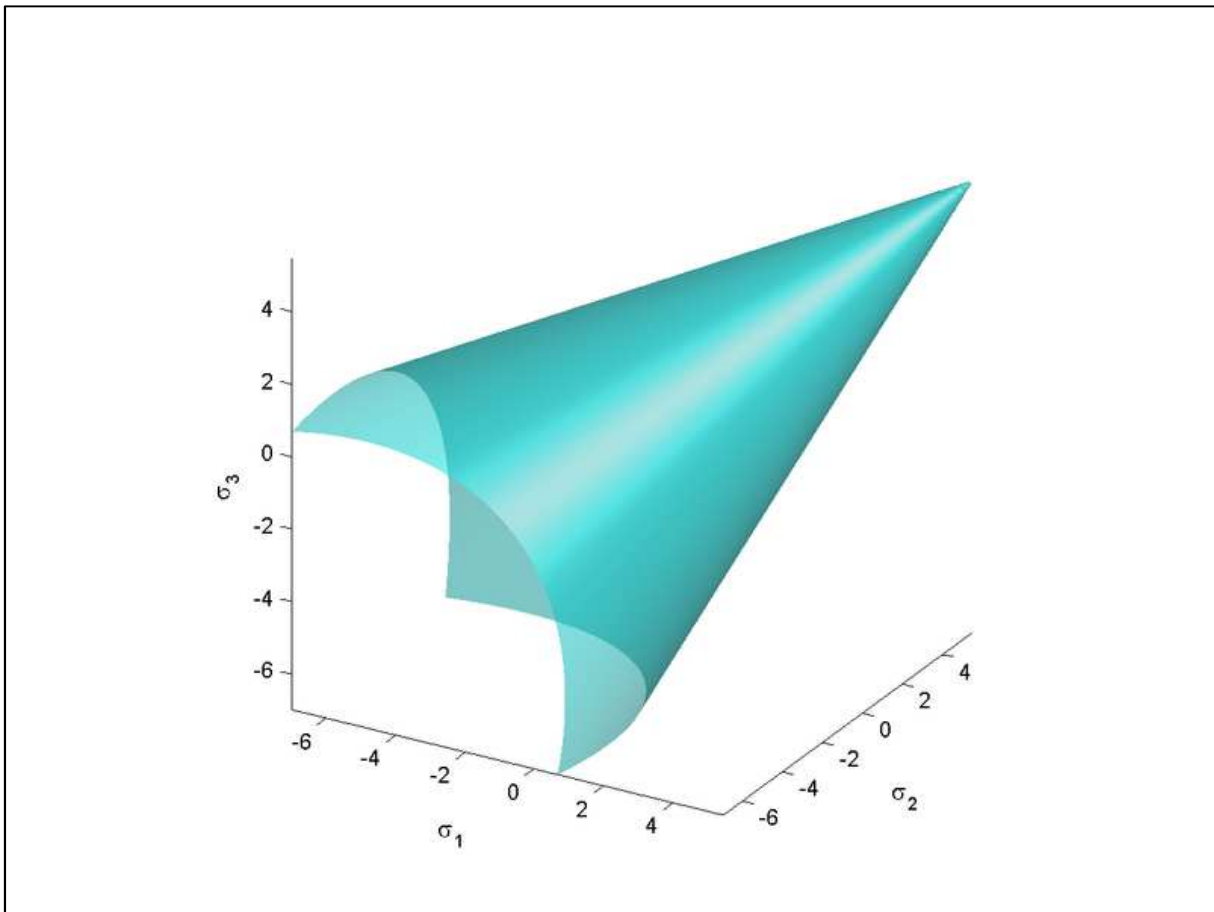
Funkce plasticity má tvar

$$f(\boldsymbol{\sigma}) = \alpha_j I_1(\boldsymbol{\sigma}) + \sqrt{J_2(\boldsymbol{\sigma})} - \tau_j, \quad (4.8)$$

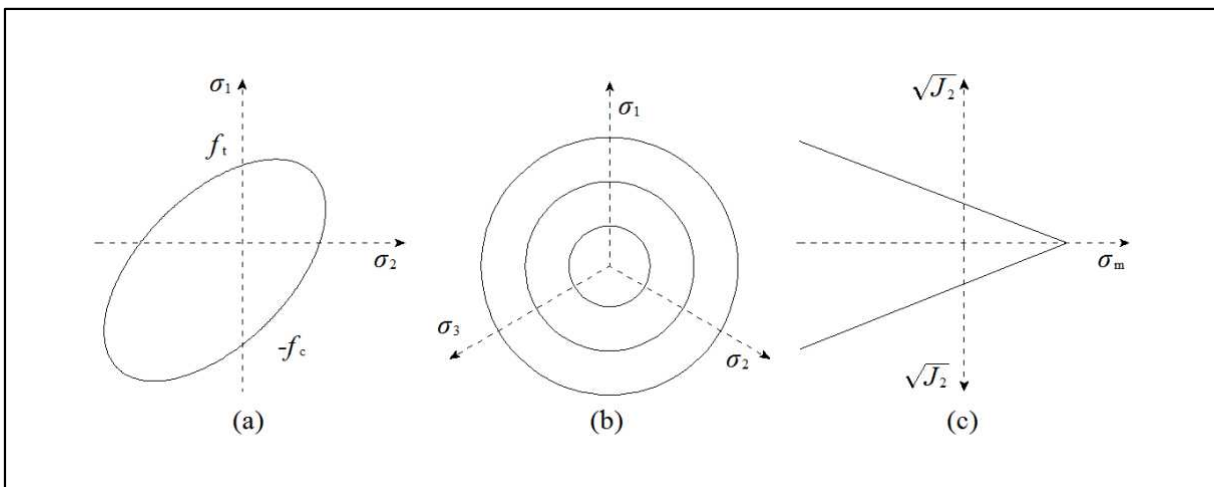
$$I_1 = \sigma_1 + \sigma_2 + \sigma_3 = 3\sigma_m, \quad (4.9)$$

$$J_2 = \frac{1}{6} [(\sigma_1 - \sigma_2)^2 + (\sigma_1 - \sigma_3)^2 + (\sigma_2 - \sigma_3)^2], \quad (4.10)$$

kde α_j je koeficient vnitřního tření, τ_j je koeficient udávající mezní hodnotu smykového napětí, I_1 je první invariant, J_2 je druhý invariant a σ_m je střední napětí. První invariant I_1 závisí na hydrostatické části napětí a je tedy pro danou deviatorickou rovinu konstantní. Odmocnina druhého invariantu J_2 vyjadřuje velikost deviatorické části napětí.

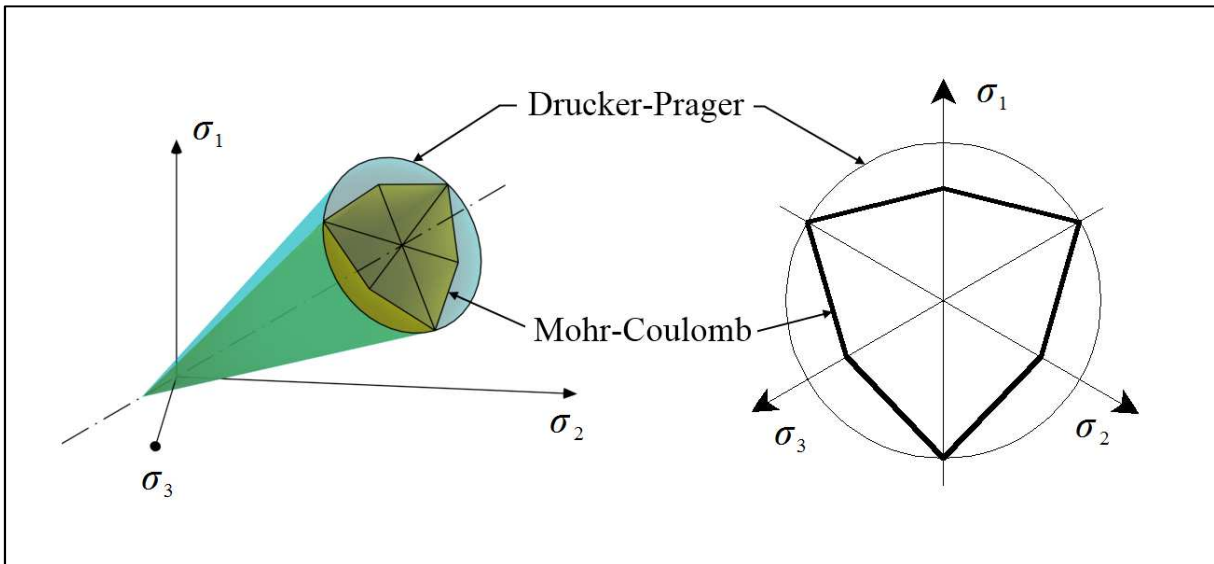


Obr. 4.3 Druckerova-Pragerova plocha plasticity [14]

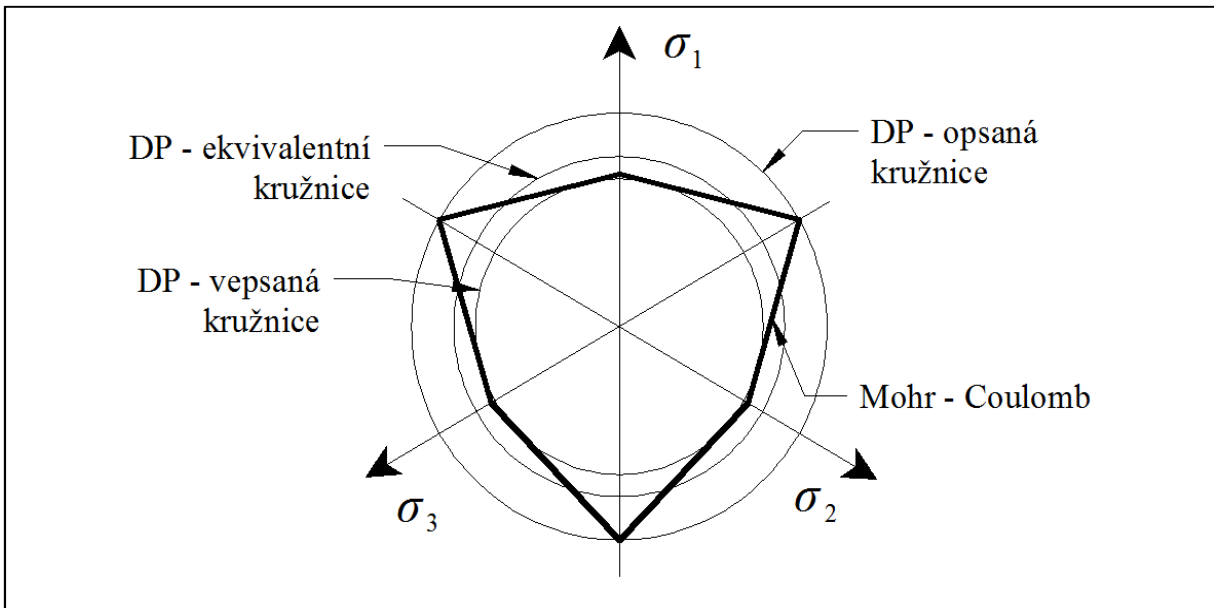


Obr. 4.4 Řezy Druckerovou -Pragerovou plochou plasticity: (a) řez odpovídající rovinné napjatosti, (b) deviatorické řezy pro různé úrovně středního napětí, (c) meridiány [2]

Existují různé varianty Druckerova-Pragerova materiálového modelu. Bud' kužel reprezentující plochu plasticity může být opsán kolem Mohrova-Coulombova šestibokého jehlanu obr. 4.5. Deviatorickým řezem je opsaná kružnice kolem šestiúhelníku viz obr. 4.6. Další variantou je vepsaný kužel nebo tzv. ekvivalentní kužel.



Obr. 4.5 Druckerova-Pragerova a Mohrova-Coulombova plocha plasticity



Obr. 4.6 Deviatorický řez Druckerovou-Pragerovou a Mohrovou-Coulombovou plochou plasticity [13]

Pro výše zmíněné varianty Druckerova-Pragerova materiálového modelu se mění funkční předpisy pro koeficienty α a τ viz rovnice (4.8). Pro opsaný kužel je dáno [13]

$$\alpha_1 = \frac{2 \sin \varphi}{\sqrt{3}(3 - \sin \varphi)}, \quad (4.11)$$

$$\tau_1 = \frac{6c \cos \varphi}{\sqrt{3}(3 - \sin \varphi)}, \quad (4.12)$$

kde c je koheze a φ je úhel vnitřního tření.

Pro ekvivalentní kužel platí [13]

$$\alpha_2 = \frac{2\sqrt{3} \sin \varphi}{\sqrt{2\sqrt{3}\pi(9 - \sin^2 \varphi)}}, \quad (4.13)$$

$$\tau_2 = \frac{6\sqrt{3}c \cos \varphi}{\sqrt{2\sqrt{3}\pi(9 - \sin^2 \varphi)}}. \quad (4.14)$$

Pro vepsaný kužel platí [13]

$$\alpha_3 = \frac{\sin \varphi}{\sqrt{3}\sqrt{3 + \sin^2 \varphi}}, \quad (4.15)$$

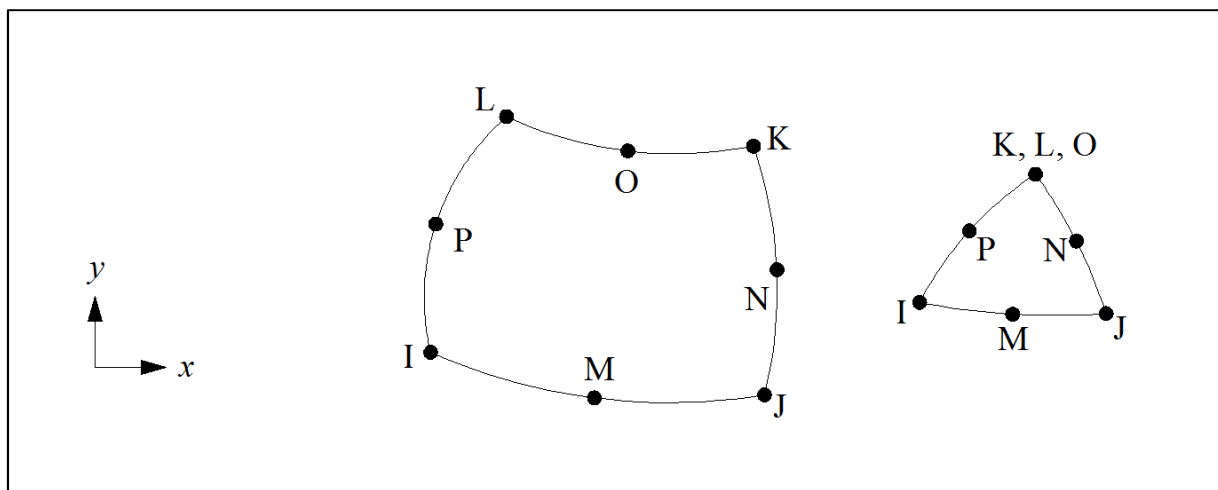
$$\tau_3 = \frac{\sqrt{3}c \cos \varphi}{\sqrt{3 + \sin^2 \varphi}}. \quad (4.16)$$

Program ANSYS [6] počítá s opsaným kuželem, viz obr. 4.5, jehož výsledky nejsou uspokojivé. Pro provedení výpočtu s ekvivalentním nebo vepsaným kuželem se musí redukovat parametry φ a c . Např. redukce na ekvivalentní kužel se provede následujícím postupem. Nejprve se vypočítají parametry α_2 a τ_2 pro ekvivalentní kužel. Tyto parametry se dosadí za α_1 a τ_1 do rovnic (4.11) a (4.12) a z nich se poté vyjádří φ a c , které se zadají do výpočtu.

Dále je možné zadat do programu ANSYS úhel dilatance ψ [$^\circ$]. Tato materiálová charakteristika udává míru zvětšení objemu materiálu při namáhání smykem. Pokud je $\psi = 0$, poté materiál při namáhání smykem nemění svůj objem. Pro píska je úhel dilatance závislý na ulehlosti a pro jíly se uvažuje $\psi = 0$.

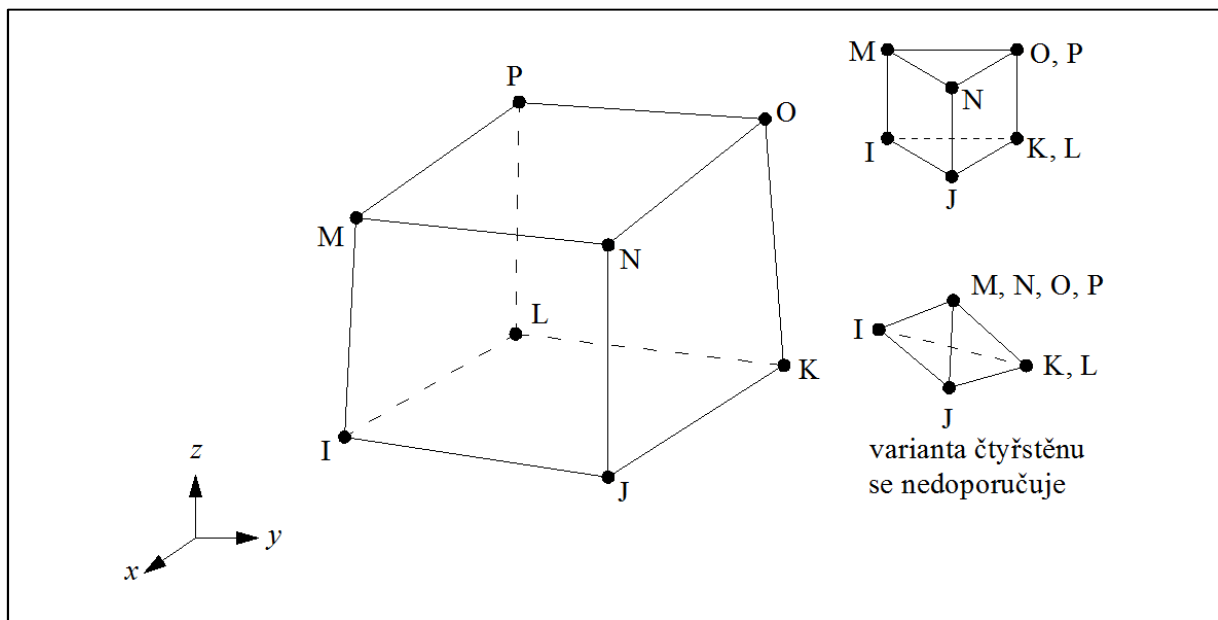
4.4 Použité konečné prvky

Pro výpočty MKP v rovinné úloze byl zvolen prvek **PLANE82** [6]. Jedná se o izoparametrický rovinný prvek s osmi uzly. Každý uzel má dva stupně volnosti, a to posuvy ve směru x a y . Daný prvek lze použít při výpočtech plasticity, tečení (creep) a geometrické nonlinearity [6]. Geometrie a umístění uzlů je zobrazeno na obr. 4.7. Lze vytvořit i trojúhelníkový prvek zadáním stejných souřadnic pro dva uzly. Pro případ rovinné napjatosti lze zadat tloušťku stěny.



Obr. 4.7 Prvek PLANE82 – geometrie [6]

Objemový prvek **SOLID45** se používá pro modelování prostorových konstrukcí [6]. Prvek obsahuje 8 uzlů, které mají po 3 stupních volnosti (posuny ve směru x , y a z). Prvek lze použít při výpočtech plasticity, tečení (creep) a geometrické nelinearity [6]. Geometrie prvku je na obr. 4.8.



Obr. 4.8 Prvek SOLID45 - geometrie [6]

5 Řešené příklady

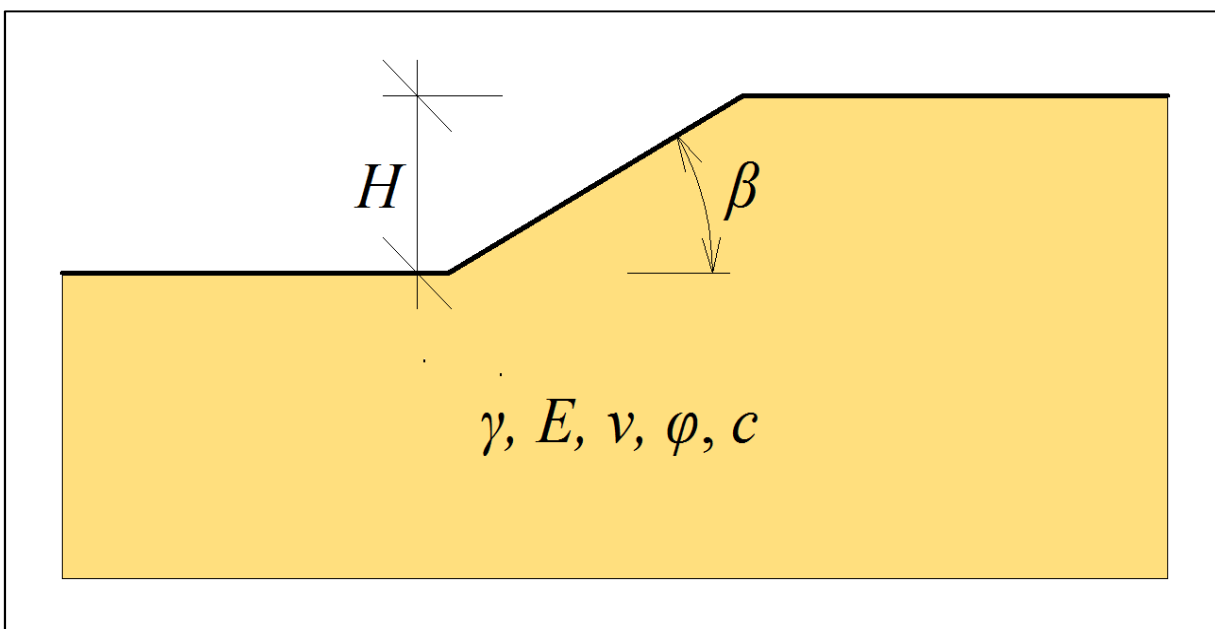
V předchozích kapitolách byly popsány jak klasické metody pro řešení stability svahů, tak metody moderní založené na MKP. Vhodné je provést jejich srovnání na praktických příkladech.

5.1 Srovnání klasických a moderních metod ve 2D

Nejprve byla snaha ověřit metody na jednoduchém příkladu. Byl tedy zvolen jednovrstvý svah. Až poté byla pozornost zaměřena na svahy vícevrstvé.

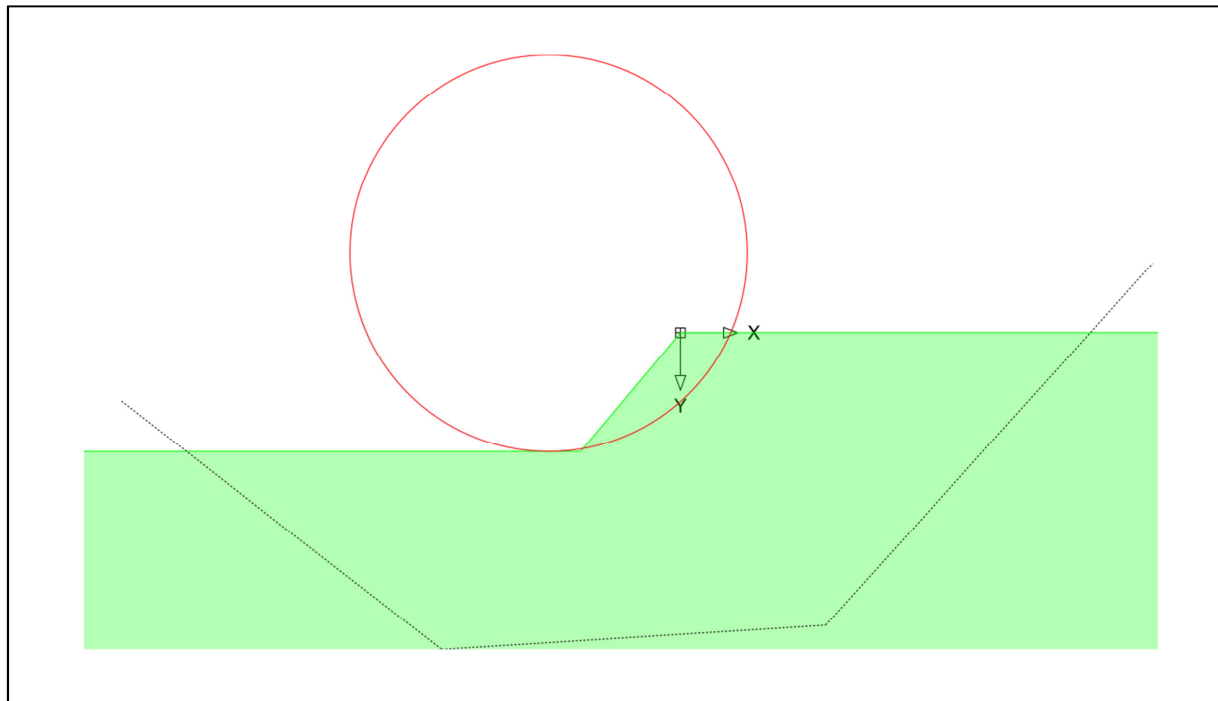
5.1.1 Jednovrstvý svah – parametrická studie

Byl vybrán příklad, který je uvedený v [13]. Výška svahu je $H = 20$ m, úhel sklonu $\beta = 50^\circ$, objemová tíha zeminy $\gamma = 25$ kN/m³, modul pružnosti $E = 10$ MPa, Poissonův součinitel $\nu = 0,2$, úhel vnitřního tření $\varphi = 17^\circ$, koheze $c = 42$ kPa, viz obr. 5.1.

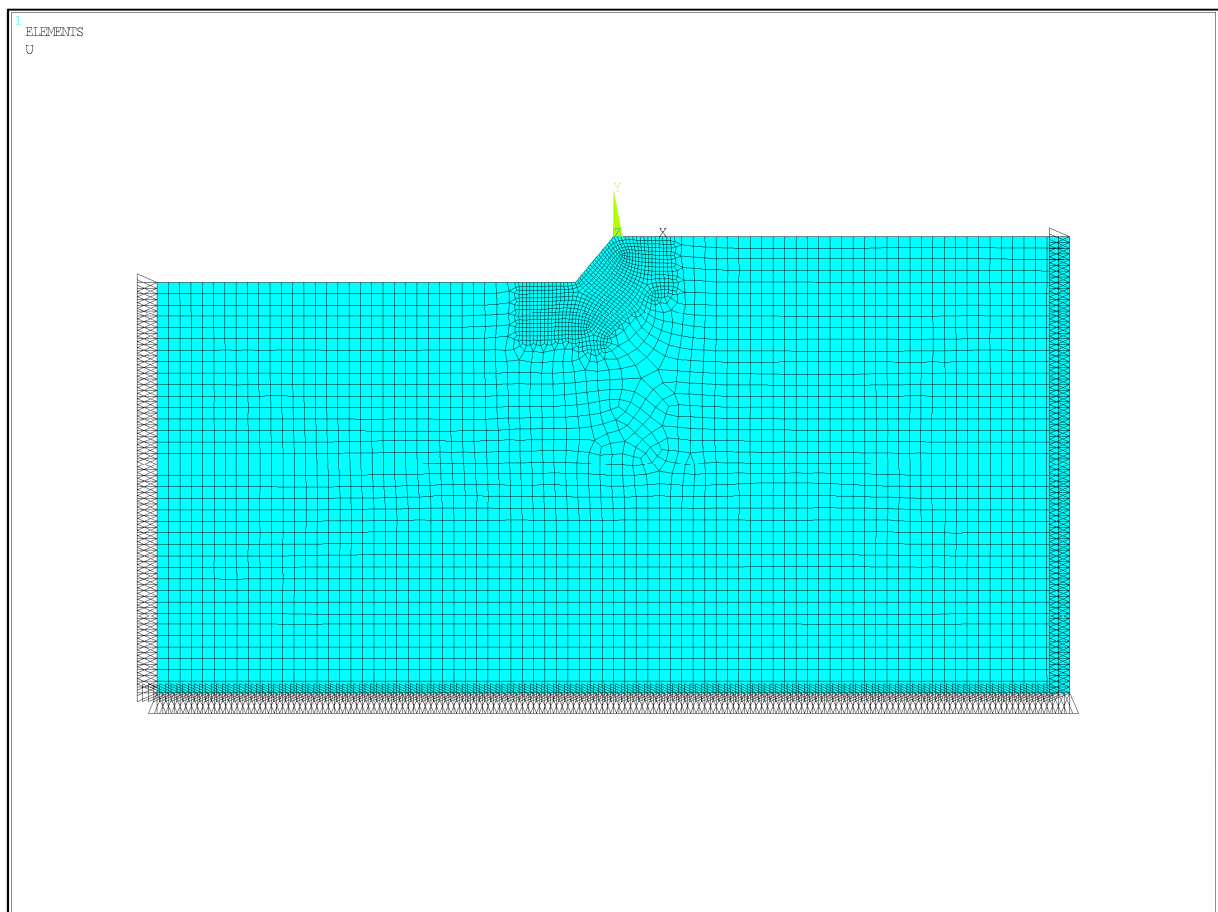


Obr. 5.1 Jednovrstvý svah – zadání

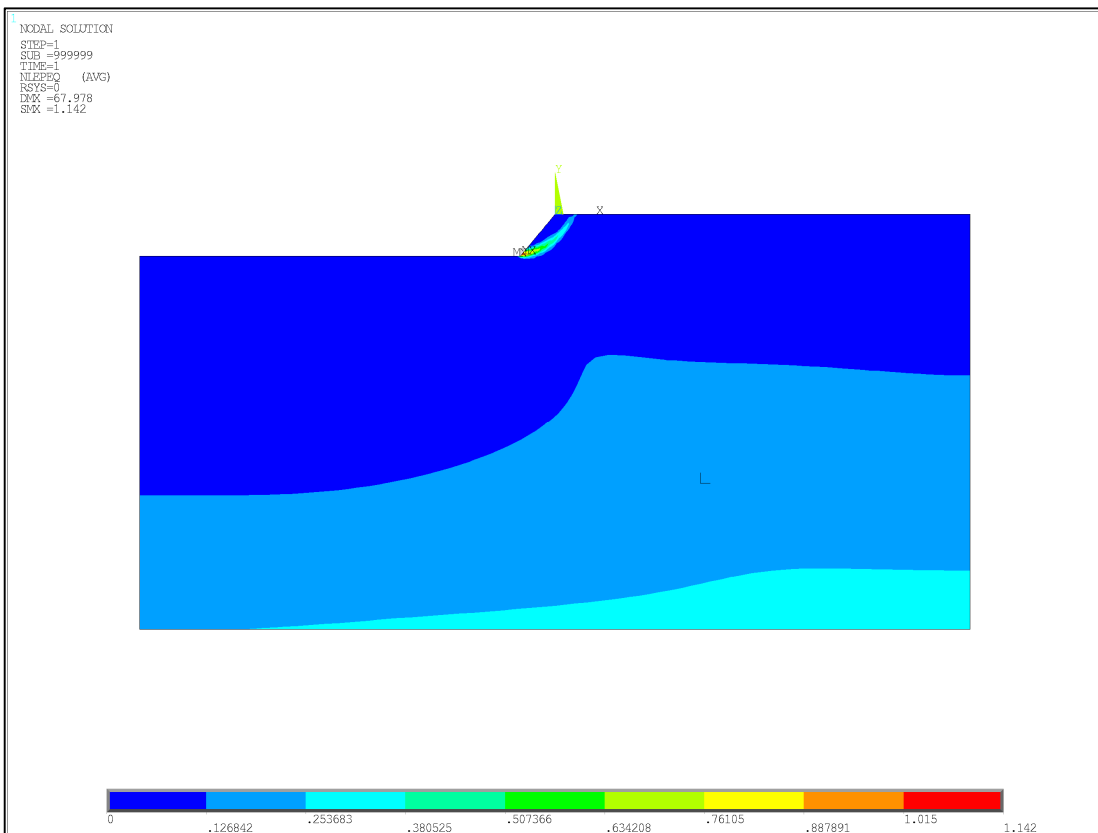
Příklad s danými parametry byl vypočítán Bishopovou metodou. Integrace byla provedena obdélníkovým pravidlem. Byl vypočítán stupeň stability $F = 1,00$. Nalezená smyková plocha je na obr. 5.2. Tento příklad byl také vypočítán programem ANSYS, ve kterém vyšel stupeň stability $F = 1,05$. Na obr. 5.3 je zobrazena síť konečných prvků a okrajové podmínky. Na svislých okrajích modelu bylo zabráněno posunům ve směru x a u dolního okraje bylo zabráněno posunům ve směru x a y . Byly použity konečné prvky PLANE82. Zatížení se aplikuje pouze ve formě vlastní tíhy. Na obr. 5.5 až 5.8 je zobrazeno ekvivalentní plastické přetvoření znázorňující rozvoj smykové plochy, po aplikaci čtvrtiny, poloviny, tříčtvrtiny a celého zatížení. Obr. 5.4 znázorňuje ekvivalentní plastické přetvoření na celém modelu. Vytvořená smyková plocha je porovnána na obr. 5.9 s klasickými metodami. Je patrné, že výsledky jsou shodné.



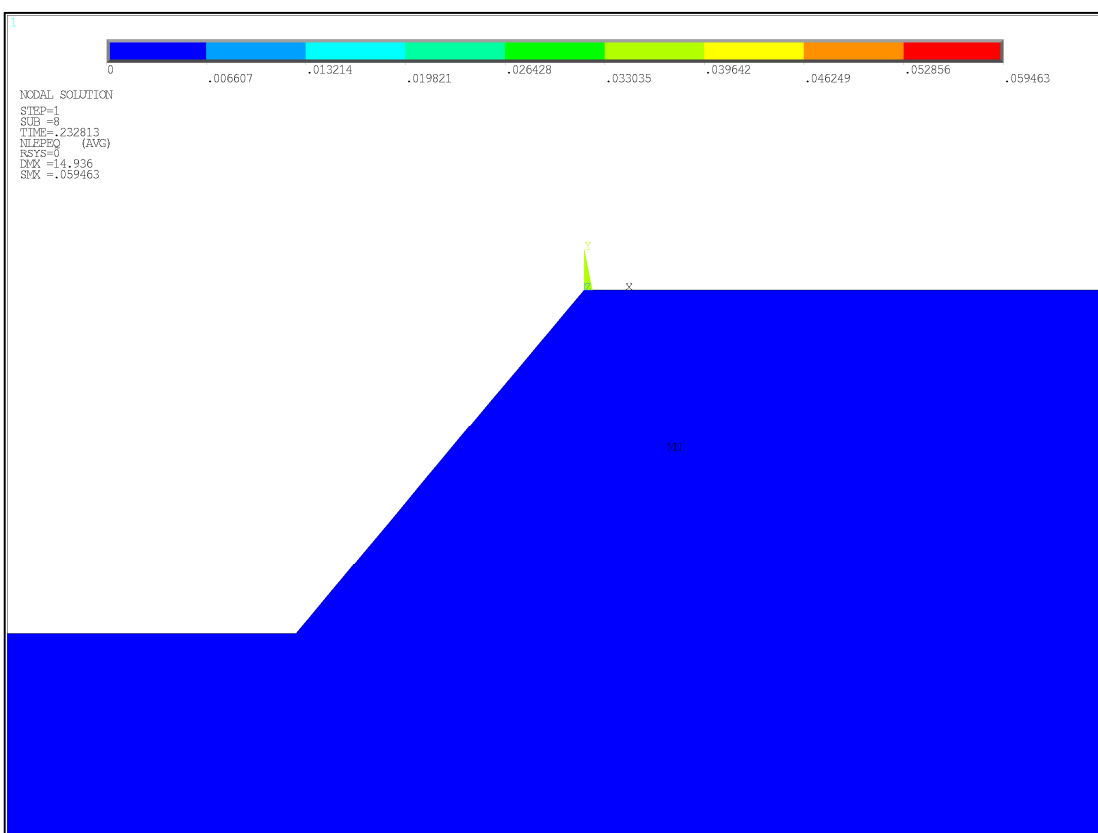
Obr. 5.2 Smyková plocha nalezená výpočtem podle Bishopovy metody a integrací podle obdélníkového pravidla ($F = 1,00$)



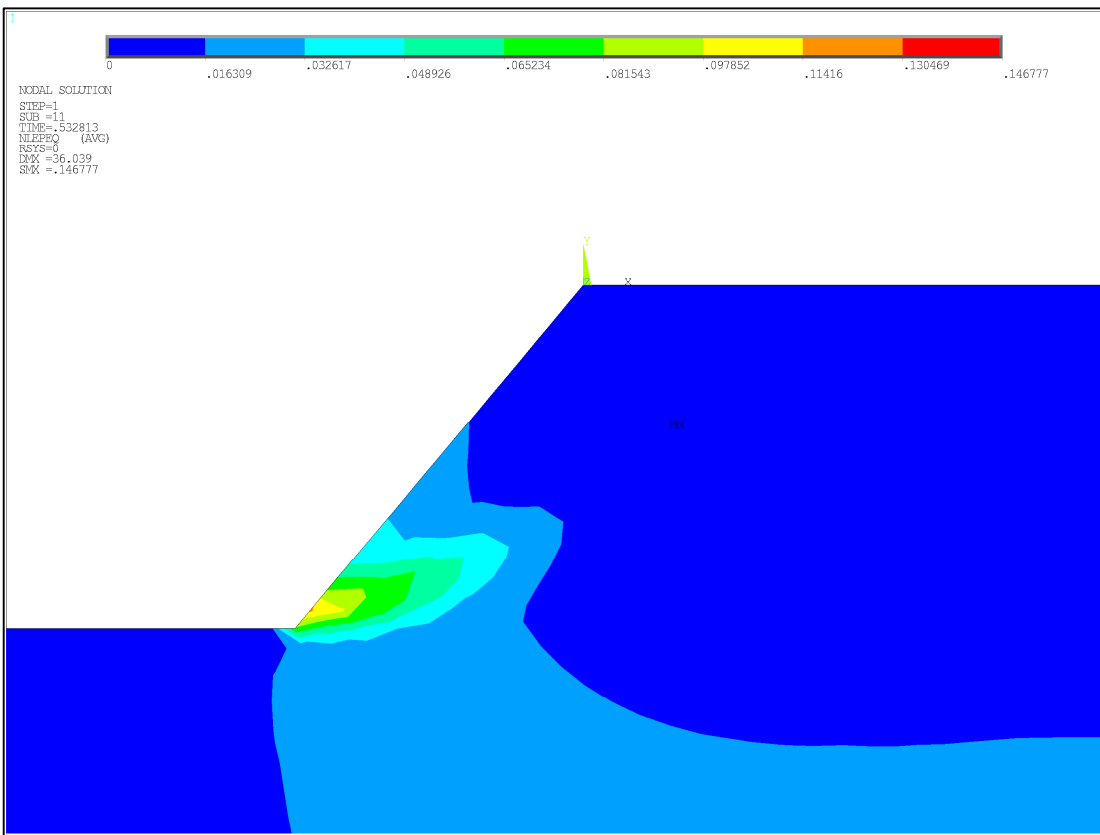
Obr. 5.3 Jednovrstvý svah - dělení na konečné prvky (PLANE82)



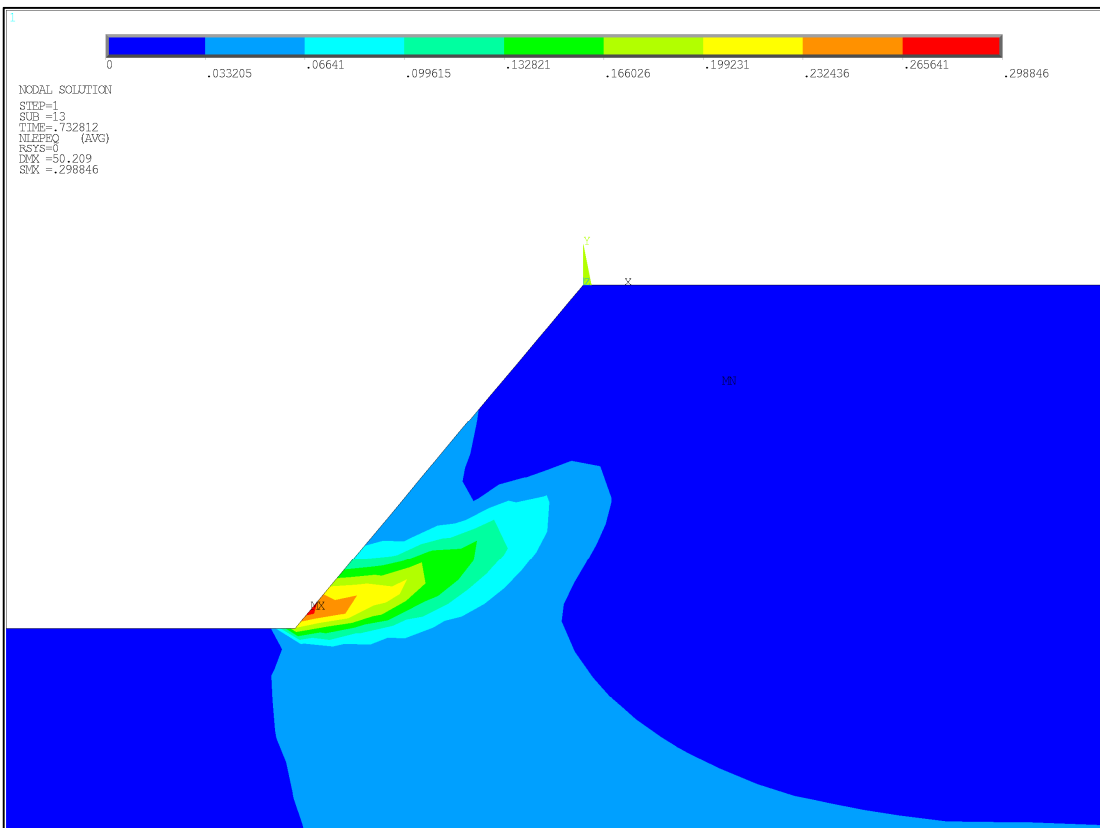
Obr. 5.4 Ekvivalentní plastická deformace ($F = 1,05$)



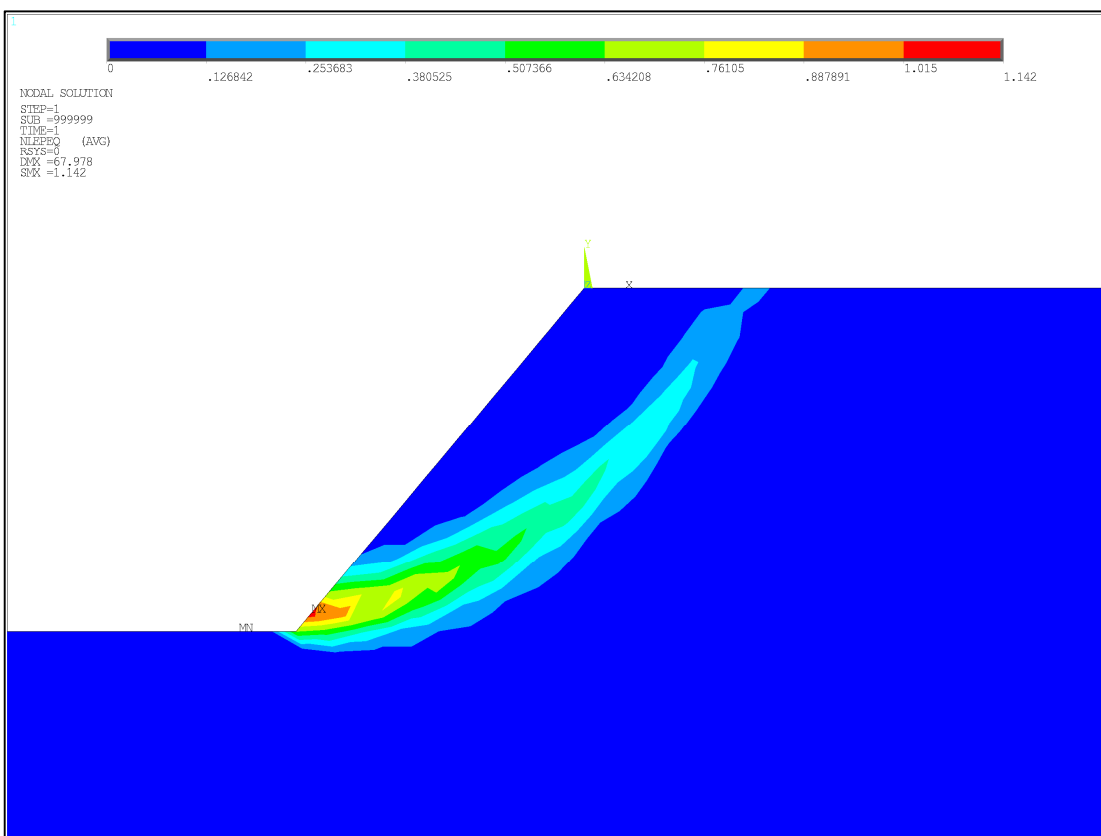
Obr. 5.5 Ekvivalentní plastická deformace – detail (čtvrtina zatížení)



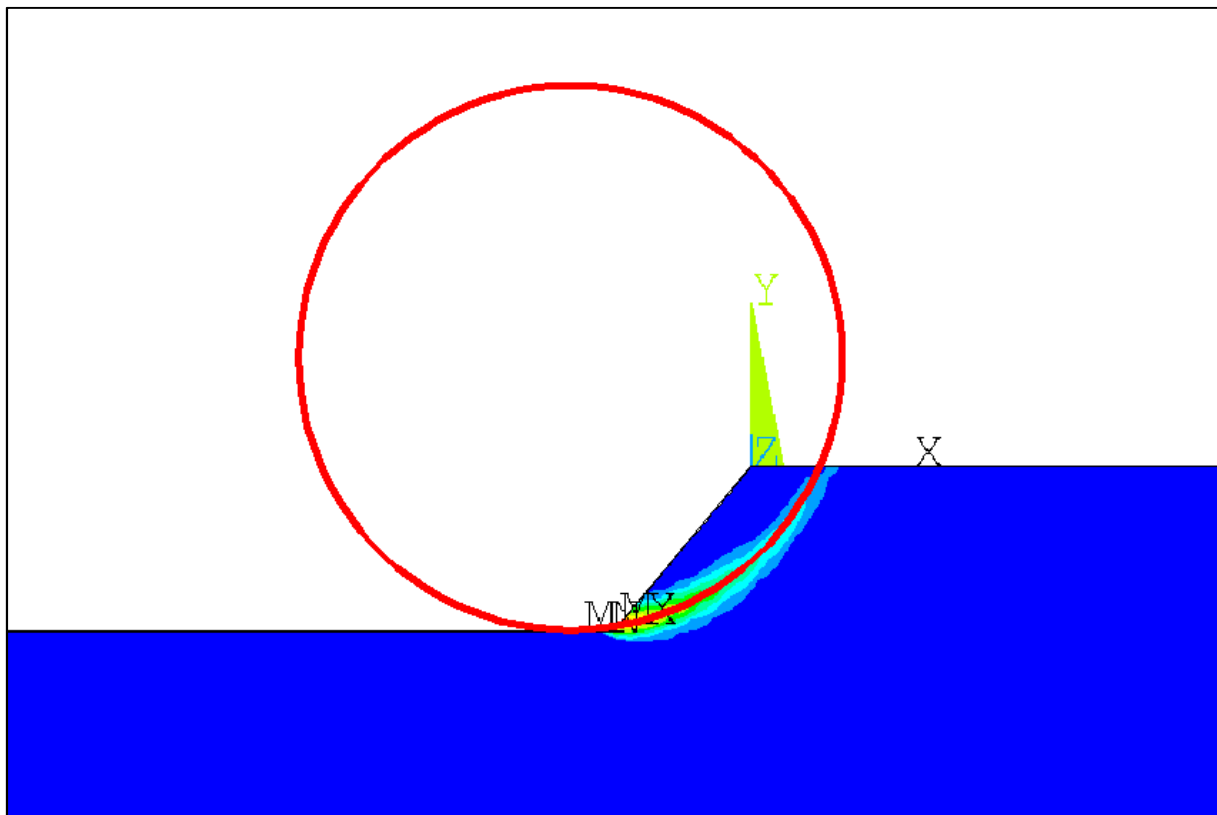
Obr. 5.6 Ekvivalentní plastická deformace – detail (polovina zatížení)



Obr. 5.7 Ekvivalentní plastická deformace – detail (tříčtvrtina zatížení)



Obr. 5.8 Ekvivalentní plastická deformace – detail (celé zatížení)



Obr. 5.9 Porovnání klasického výpočtu a MKP

Dále byla provedena parametrická studie. Byl měněn vždy jen jeden parametr, přičemž bylo sledováno, jak se mění stupeň stability svahu. Ostatní parametry zůstaly konstantní. Výpočty byly provedeny metodou konečných prvků MKP v programu ANSYS a porovnávány s klasickými metodami. V tab. 5.1 jsou uvedeny výsledky pro proměnnou výšku svahu. Z výsledků je patrné že výška svahu významně ovlivňuje stupeň stability svahu. Čím je výška svahu větší, tím působí větší hmota zeminy tříhovou silou na smykovou plochu.

Tab. 5.1 Určení stupně stability F získaného různými metodami pro proměnnou výšku svahu H

Metoda		Výška H [m]					
		2	4	8	16	32	
MKP – SSR	DP – vnější kužel	5,51	3,75	2,29	1,44	1,00	
	DP – ekvivalentní kužel	4,54	3,09	1,88	1,19	0,83	
	DP – vepsaný kužel	4,25	2,89	1,77	1,11	0,77	
Klasické	Pettersonova metoda	obdělníkové pravidlo	5,40	2,97	1,75	1,10	0,75
		Simpsonovo pravidlo	5,41	2,98	1,76	1,11	0,76
	Bishopova metoda	obdělníkové pravidlo	5,44	2,97	1,76	1,12	0,78
		Simpsonovo pravidlo	4,73	2,72	1,64	1,07	0,76

Úhel sklonu svahu β je další parametr, který významně ovlivňuje stupeň stability svahu F . Čím strmější je svah, tím bývá poměr tangenciální síly a normálové síly na kritické smykové ploše větší. Výsledky parametrické studie pro tuto proměnnou jsou uvedeny v tab. 5.2.

Vliv objemové tříhy na stupeň stability F je patrný z tab. 5.3. Při rostoucí objemové tříze γ klesá stupeň stability F . Pokud se sníží objemová třída zeminy γ zmenší se i tříhová síla G . Zmenší-li se objemová třída G zmenší se i aktivní tangenciální síla T , ale na druhou stranu i normálová síla, která má vliv na pevnost zeminy ve smyku. V tomto případě je tedy vliv změny aktivní tangenciální síly větší než normálové síly.

Úhel vnitřního tření je parametr, který má vliv na pevnost zeminy. V tab. 5.4 jsou uvedeny výsledky parametrické studie pro tuto proměnnou. Je logické, že zvýšením úhlu vnitřního tření φ dojde ke zvýšení pevnosti zeminy a také stupně stability F .

Další parametr, který ovlivňuje pevnost zeminy, je koheze c . Parametrická studie určení stupně stability pro proměnnou kohezi c je uvedena v tab. 5.5. Zvýšením koheze c dojde ke zvýšení pevnosti zeminy a tím k větší stabilitě svahu.

Tab. 5.2 Určení stupně stability F získaného různými metodami pro proměnný úhel sklonu svahu β

Metoda		Úhel sklonu β [°]								
		10	20	30	40	50	60	70	80	
MKP – SSR	DP – vnější kužel	3,56	2,25	1,74	1,46	1,27	1,13	0,99	0,89	
	DP – ekvivalentní kužel	2,94	1,84	1,44	1,21	1,05	0,93	0,81	0,73	
	DP – vnitřní kužel	2,74	1,72	1,34	1,13	0,98	0,86	0,77	0,68	
Klasické	Pettersonova metoda	obdélníkové pravidlo	2,73	1,70	1,32	1,12	0,97	0,88	0,81	0,77
		Simpsonovo pravidlo	2,81	1,75	1,35	1,14	0,98	0,89	0,82	0,77
	Bishopova metoda	obdélníkové pravidlo	2,91	1,81	1,39	1,16	1,00	0,90	0,79	0,70
		Simpsonovo pravidlo	2,79	1,72	1,34	1,12	0,97	0,85	0,74	0,65

Tab. 5.3 Určení stupně stability F získaného různými metodami pro proměnnou objemovou tíhu materiálu γ

Metoda		Objemová tíha γ [kN/m ³] · 10 ³							
		15	16	17	18	19	20	21	22
MKP – SSR	DP – vnější kužel	1,70	1,63	1,57	1,52	1,48	1,44	1,40	1,36
	DP – ekvivalentní kužel	1,40	1,35	1,30	1,26	1,22	1,18	1,15	1,12
	DP – vnitřní kužel	1,31	1,26	1,21	1,17	1,14	1,11	1,08	1,05
Klasické	Petterssonova metoda	obdélníkové pravidlo	1,33	1,27	1,22	1,18	1,14	1,10	1,08
		Simpsonovo pravidlo	1,33	1,29	1,23	1,19	1,15	1,11	1,08
	Bishopova metoda	obdélníkové pravidlo	1,34	1,29	1,25	1,20	1,16	1,12	1,09
		Simpsonovo pravidlo	1,28	1,24	1,19	1,16	1,13	1,09	1,06

Tab. 5.4 Určení stupně stability F získaného různými metodami pro proměnný úhel vnitřního tření materiálu φ

Metoda		Úhel vnitřního tření φ [°]						
		8	12	16	20	24	28	36
MKP – SSR	DP – vnější kužel	1,00	1,07	1,23	1,39	1,54	1,71	1,85
	DP – ekvivalentní kužel	0,78	0,91	1,02	1,12	1,22	1,32	1,41
	DP – vnitřní kužel	0,74	0,86	0,96	1,04	1,12	1,20	1,25
Klasické	Pettersonova metoda	obdélníkové pravidlo	0,73	0,84	0,95	1,06	1,17	1,29
		Simpsonovo pravidlo	0,73	0,84	0,96	1,08	1,18	1,30
	Bishopova metoda	obdélníkové pravidlo	0,74	0,86	0,97	1,08	1,20	1,32
		Simpsonovo pravidlo	0,71	0,82	0,93	1,06	1,17	1,29

Tab. 5.5 Určení stupně stability F získaného různými metodami pro proměnnou kohezi materiálu c

Metoda		Koheze c [kPa]						
		5	10	15	20	25	30	35
MKP – SSR	DP – vnější kužel	0,61	0,72	0,83	0,92	1,01	1,09	1,16
	DP – ekvivalentní kužel	0,50	0,60	0,68	0,76	0,83	0,89	0,95
	DP – vnitřní kužel	0,47	0,56	0,64	0,71	0,77	0,83	0,89
Klasické	Pettersonova metoda	obdélníkové pravidlo	0,43	0,52	0,61	0,68	0,75	0,82
		Simpsonovo pravidlo	0,44	0,53	0,61	0,69	0,76	0,83
	Bishopova metoda	obdélníkové pravidlo	0,45	0,55	0,63	0,70	0,78	0,84
		Simpsonovo pravidlo	0,45	0,54	0,62	0,69	0,76	0,82

Tab. 5.6 uvádí parametrickou studii určení stupně stability F získaného pro proměnný modul pružnosti E . Z tabulky je zřejmé, že modul pružnosti E nemá vliv na stupeň stability F . Velmi malý nebo téměř žádný vliv má na stupeň stability F Poissonův součinitel ν , jehož parametrická studie je v tab. 5.7.

Tab. 5.6 Určení stupně stability F získaného různými metodami pro proměnný modul pružnosti materiálu E

Metoda		Modul pružnosti E [MPa]					
		5	10	15	20	25	30
MKP – SSR	DP – vnější kužel	1,28	1,27	1,27	1,27	1,27	1,27
	DP – ekvivalentní kužel	1,06	1,05	1,05	1,05	1,05	1,05
	DP – vnitřní kužel	0,99	0,98	0,98	0,98	0,98	0,98

Tab. 5.7 Určení stupně stability F získaného různými metodami pro proměnný Poissonův součinitel ν

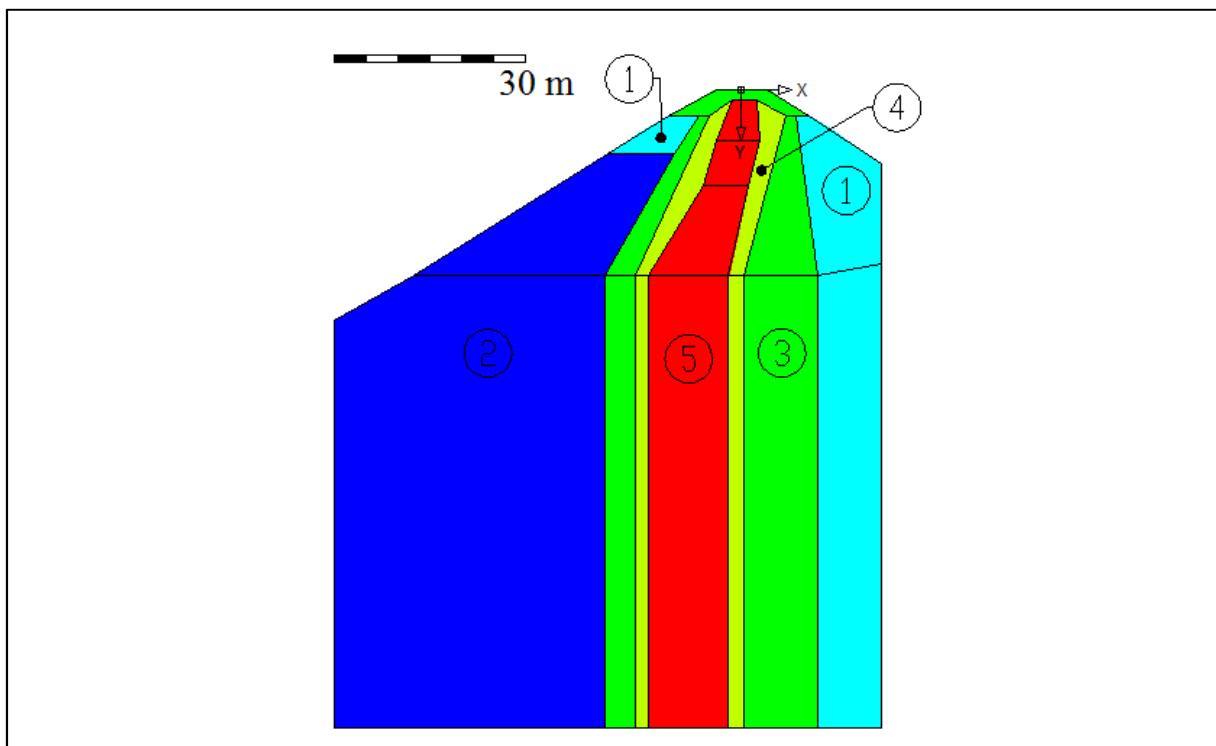
Metoda		Poissonův součinitel ν [-]					
		0,2	0,25	0,3	0,35	0,4	0,45
MKP – SSR	DP – vnější kužel	1,27	1,27	1,28	1,28	1,28	1,28
	DP – ekvivalentní kužel	1,05	1,05	1,05	1,05	1,05	1,05
	DP – vnitřní kužel	0,98	0,98	0,98	0,98	0,99	0,98

5.1.2 Vícevrstvý svah

Dále byl zvolen vícevrstvý (nehomogenní) svah. Jeho geometrie je zobrazena na obr. 5.10. Jednotlivé plochy jsou barevně rozděleny podle materiálu. Každý materiál je označen číslem, jehož charakteristiky jsou uvedeny v tab. 5.8. Výsledky stupňů stability jsou uvedeny v tab. 5.9. Na obr. 5.11 je zobrazena síť konečných prvků a okrajové podmínky. Byly zvoleny prvky PLANE82. Ekvivalentní plastické deformace vypočítané pro Druckerův-Pragerův ekvivalentní kužel jsou zobrazeny na obr. 5.12. Smyková plocha nalezená výpočtem Pettersonovou metodou a integrací obdélníkovým pravidlem je patrná na obr. 5.13. Porovnání obou snykových ploch je na obr. 5.14. Z výsledků je patrné, že k porušení snykem by došlo na povrchu svahu. Odlišný tvar snykové plochy pro klasické metody a MKP může mít vliv na rozdílné výsledky stupňů stability.

Tab. 5.8 Vícevrstvý svah - materiálové charakteristiky

Barva	Číslo materiálu	γ [kN/m ³]	φ [°]	c [Pa]
■	1	23,50	42	0
■	2	24,90	42	0
■	3	23,40	38	10000
■	4	23,40	36	0
■	5	20,50	26	25000

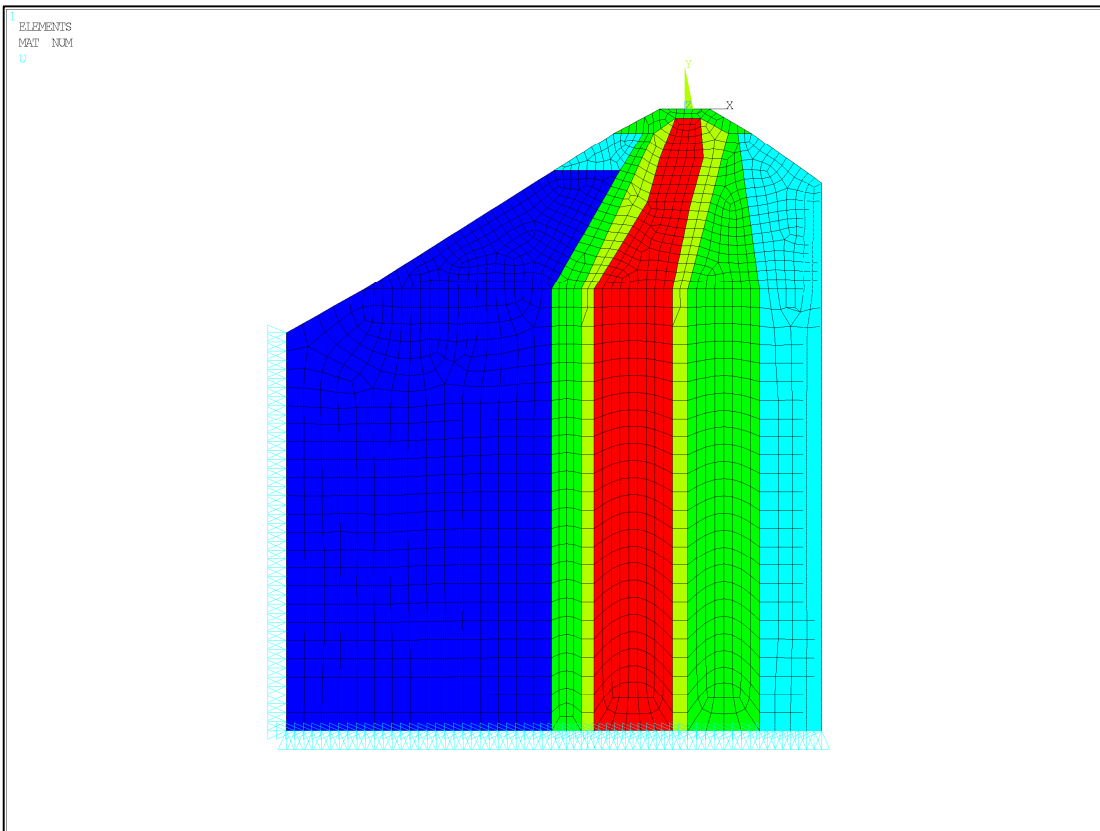


Obr. 5.10 Vícevrstvý svah – materiály a geometrie

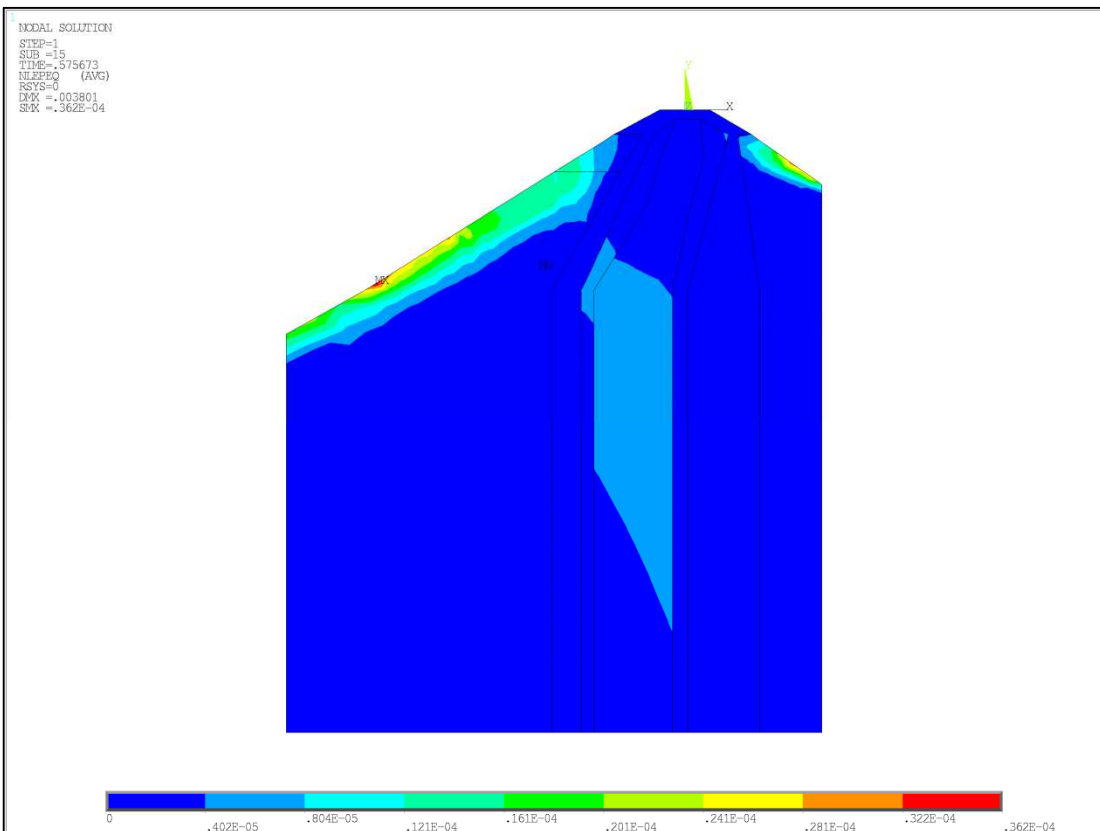
Tab. 5.9 Vícevrstvý svah – výsledky

Klasické metody				MKP - SSR		
Pettersonova metoda		Bishopova metoda		DP – vnitřní kužel	DP – ekvivalentní kužel	DP – vnější kužel
OBD	SIM	OBD	SIM			
1,44	1,44	1,44	1,44	1,16	1,34	1,85

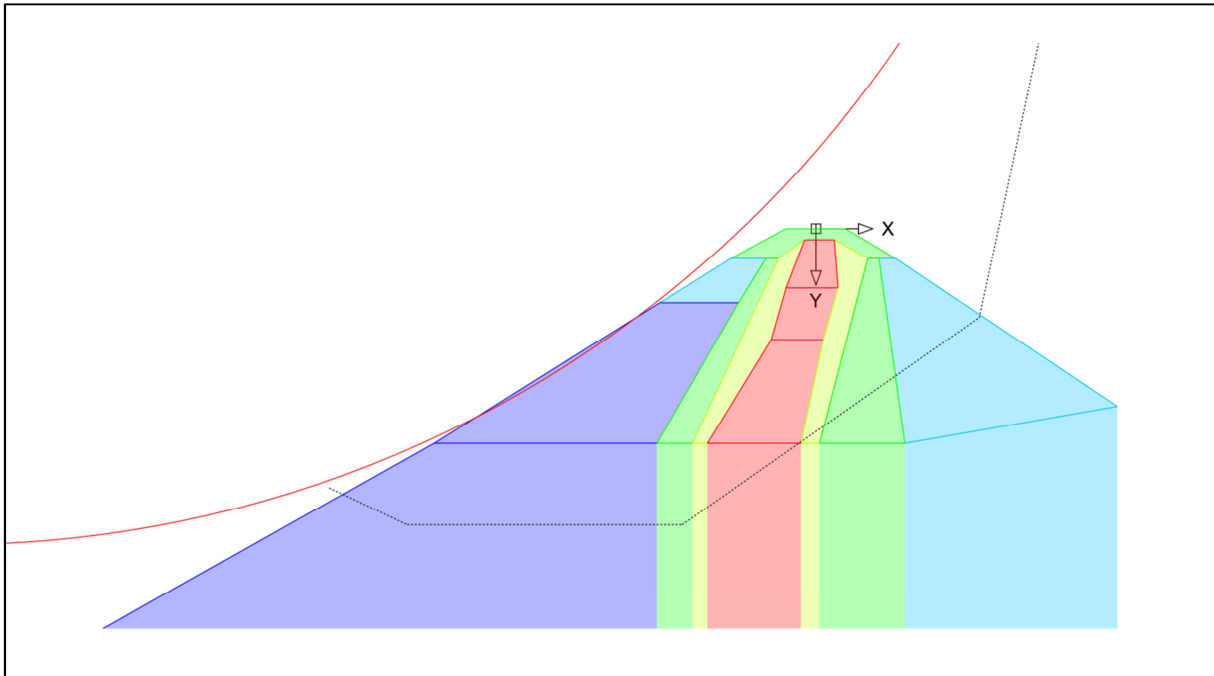
Pozn.: OBD – obdélníkové pravidlo; SIM – Simpsonovo pravidlo



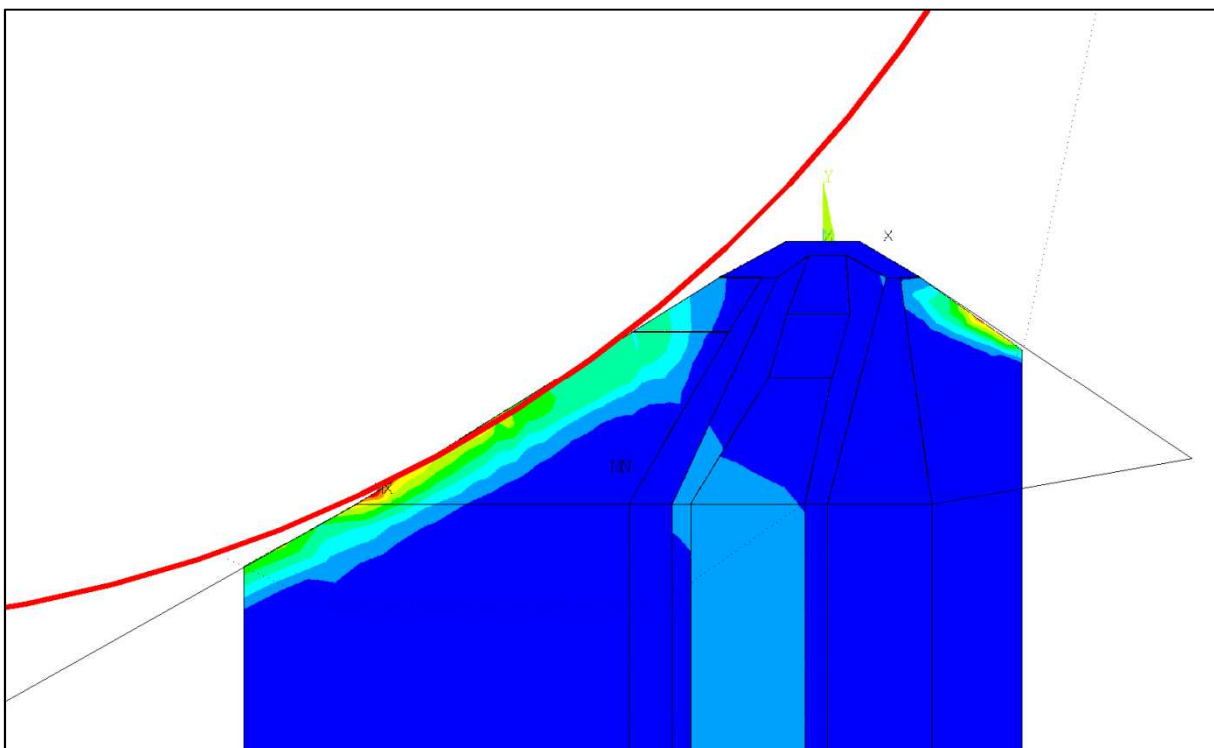
Obr. 5.11 Vícevrstvý svah – síť konečných prvků (PLANE82)



Obr. 5.12 Vícevrstvý svah – ekvivalentní plastická deformace ($F = 1,34$)



Obr. 5.13 Smyková plocha nalezená výpočtem podle Pettersonovy metody a integrací podle obdélníkového pravidla ($F = 1,44$)



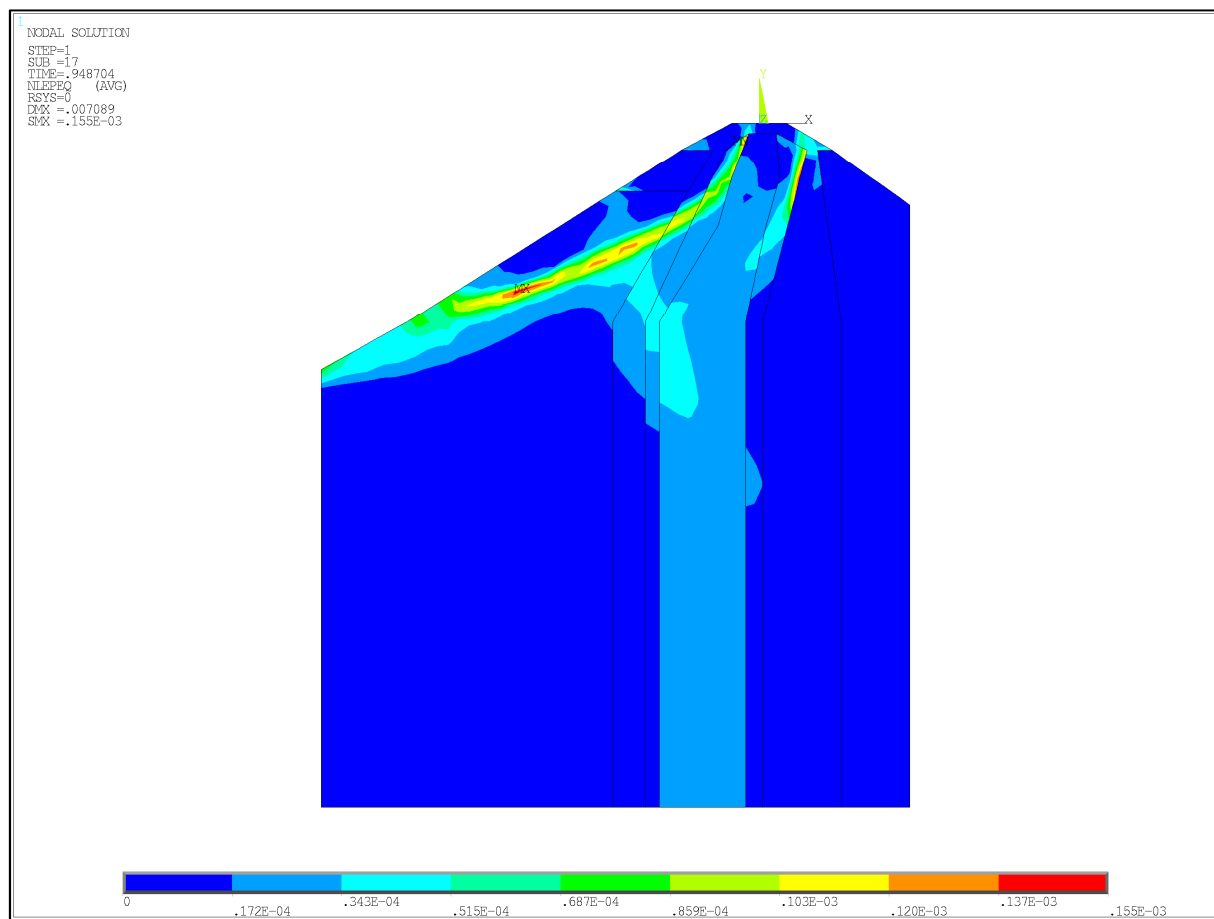
Obr. 5.14 Porovnání klasického výpočtu a MKP

Pro ověření daných výsledků byly změněny materiálové charakteristiky zemin, které jsou umístěny na povrchu svahu. Tím by se měla nebezpečná smyková plocha posunout více do hloubky svahu. Upravené materiálové charakteristiky jsou uvedeny v tab. 5.10. Pro materiály 1 a 2 byla zvýšena koheze c z nulové hodnoty na hodnotu $c = 25000$ Pa.

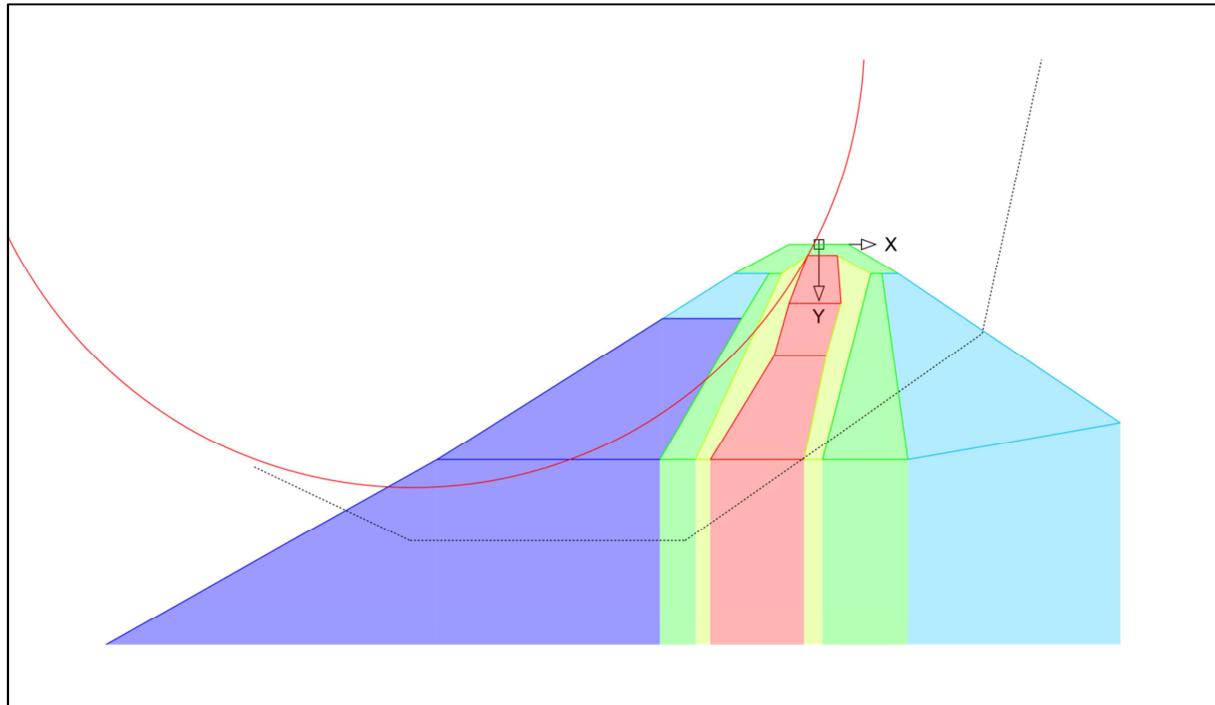
Tab. 5.10 Vícevrstvý svah - modifikované materiálové charakteristiky

Barva	Číslo materiálu	γ [kN/m ³]	φ [°]	c [Pa]
	1	23,50	42	25000
	2	24,90	42	25000
	3	23,40	38	10000
	4	23,40	36	0
	5	20,50	26	25000

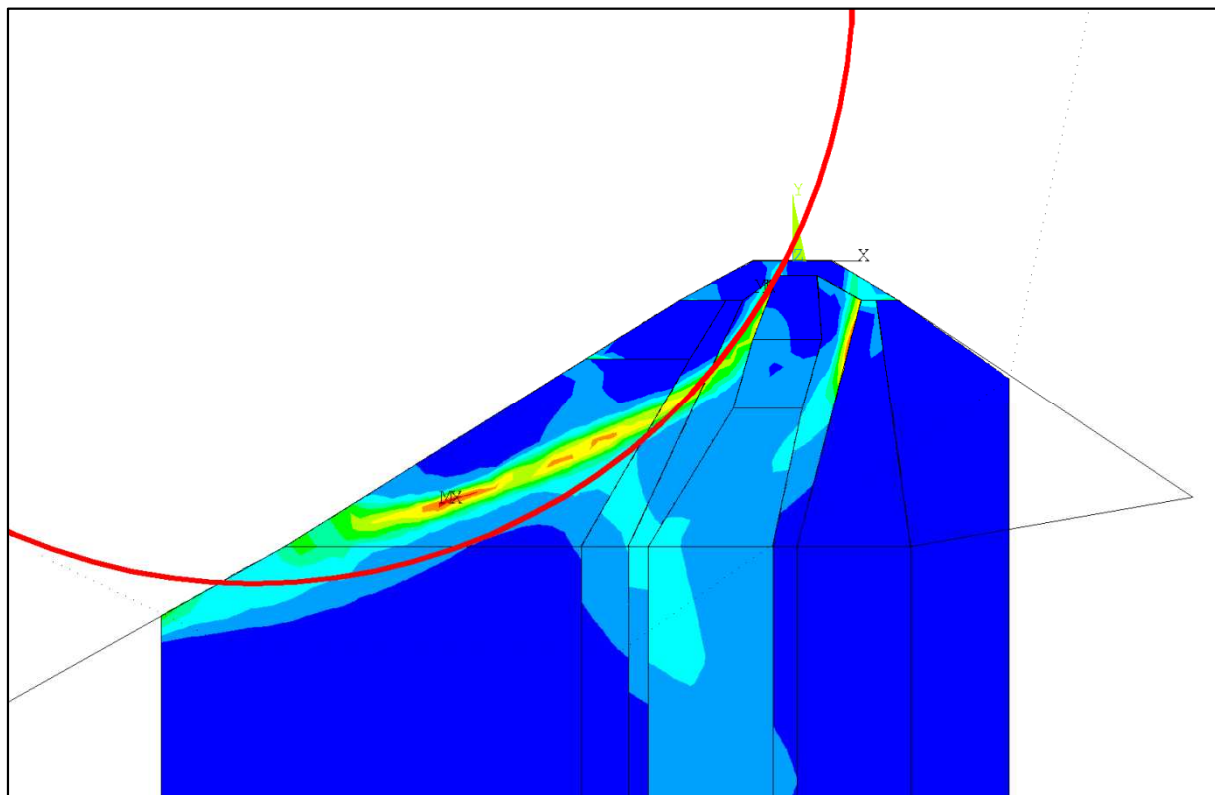
Výsledné ekvivalentní plastické přetvoření vypočítané pro Druckerův-Pragerův ekvivalentní kužel je zobrazeno na obr. 5.15. Smyková plocha nalezená Pettersonovou metodou a integrací obdélníkovým pravidlem je na obr. 5.16. Porovnání obou smykových ploch je na obr. 5.17.



Obr. 5.15 Vícevrstvý svah s modifikovanými materiály – ekvivalentní plastická deformace ($F = 1,65$)



Obr. 5.16 Vícevrstvý svah s modifikovanými materiály – smyková plocha nalezená výpočtem podle Pettersonovy metody a integrací podle obdélníkového pravidla ($F = 1,85$)



Obr. 5.17 Vícevrstvý svah s modifikovanými materiály – porovnání řešení MKP s klasickým výpočtem

Nová smyková plocha jen nyní umístěna více v hloubce svahu. Z obr. 5.17 je zřejmé, že tvar smykových ploch zjištěných klasickými metodami a MKP je rozdílný. To může být příčinou odlišného stupně stability zjištěného oběma metodami. Výsledky pro ostatní varianty výpočtu jsou uvedeny v tab. 5.11.

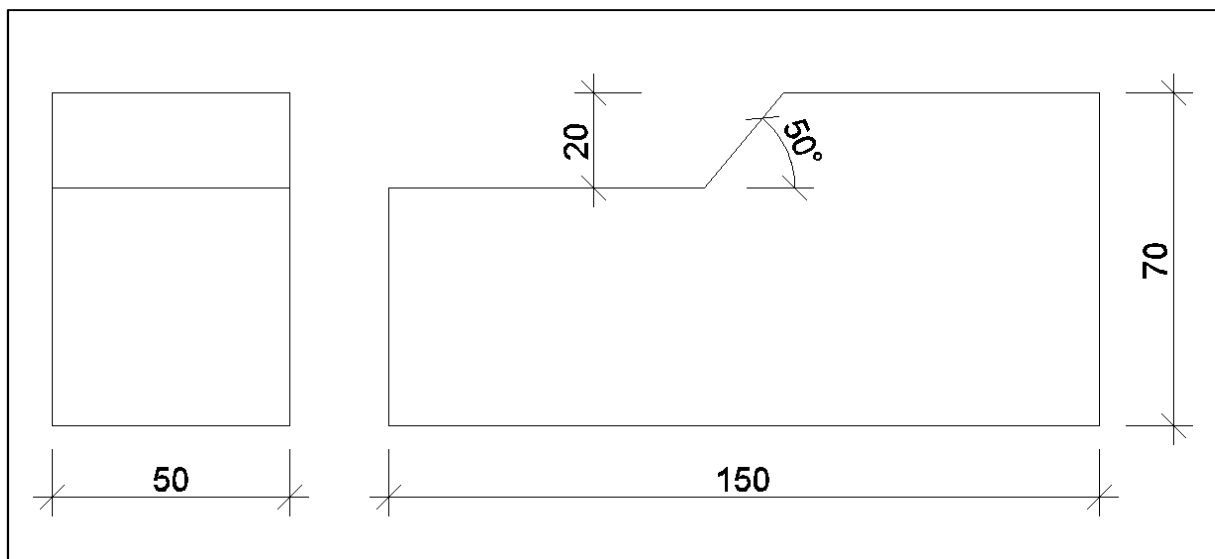
Tab. 5.11 Vícevrstvý svah s modifikovanými materiálovými charakteristikami – výsledky

Klasické metody				MKP – SSR		
Pettersonova metoda		Bishopova metoda		DP – vnitřní kužel	DP – ekvivalentní kužel	DP – vnější kužel
OBD	SIM	OBD	SIM			
1,85	1,84	1,93	1,93	1,43	1,65	2,28

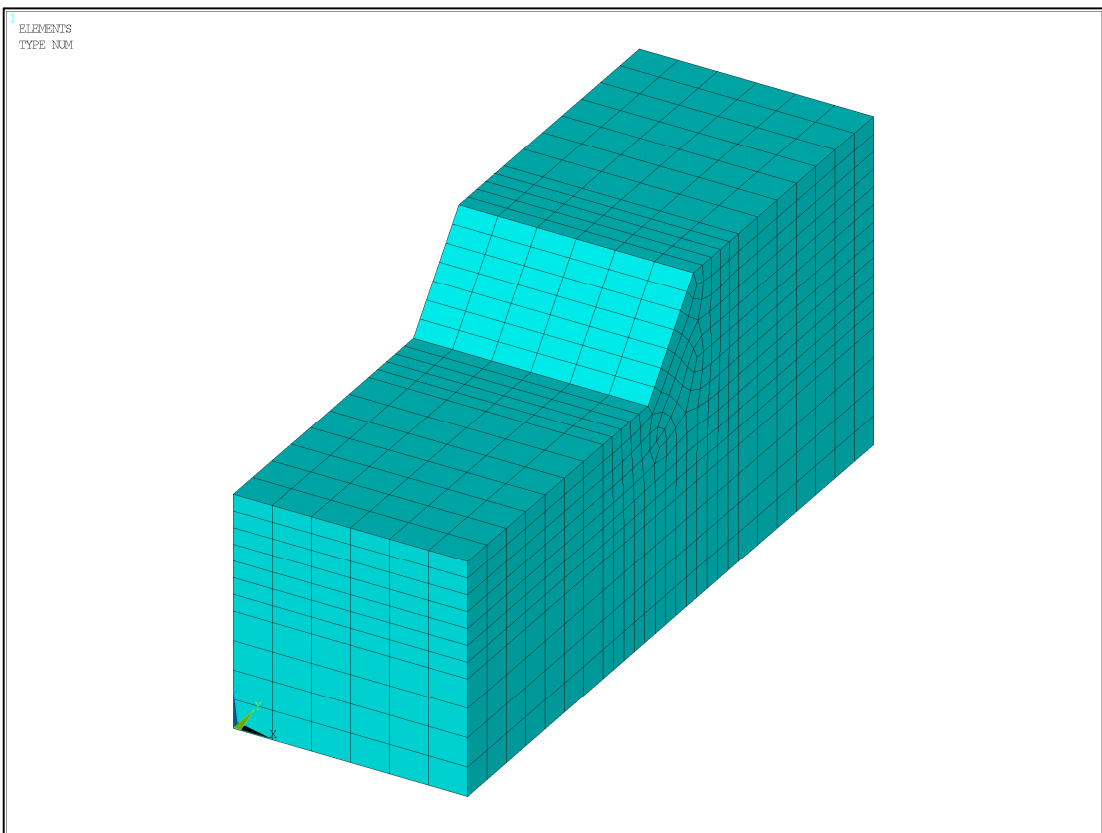
Pozn.: OBD – obdélníkové pravidlo; SIM – Simpsonovo pravidlo

5.2 Výpočet moderními metodami ve 3D

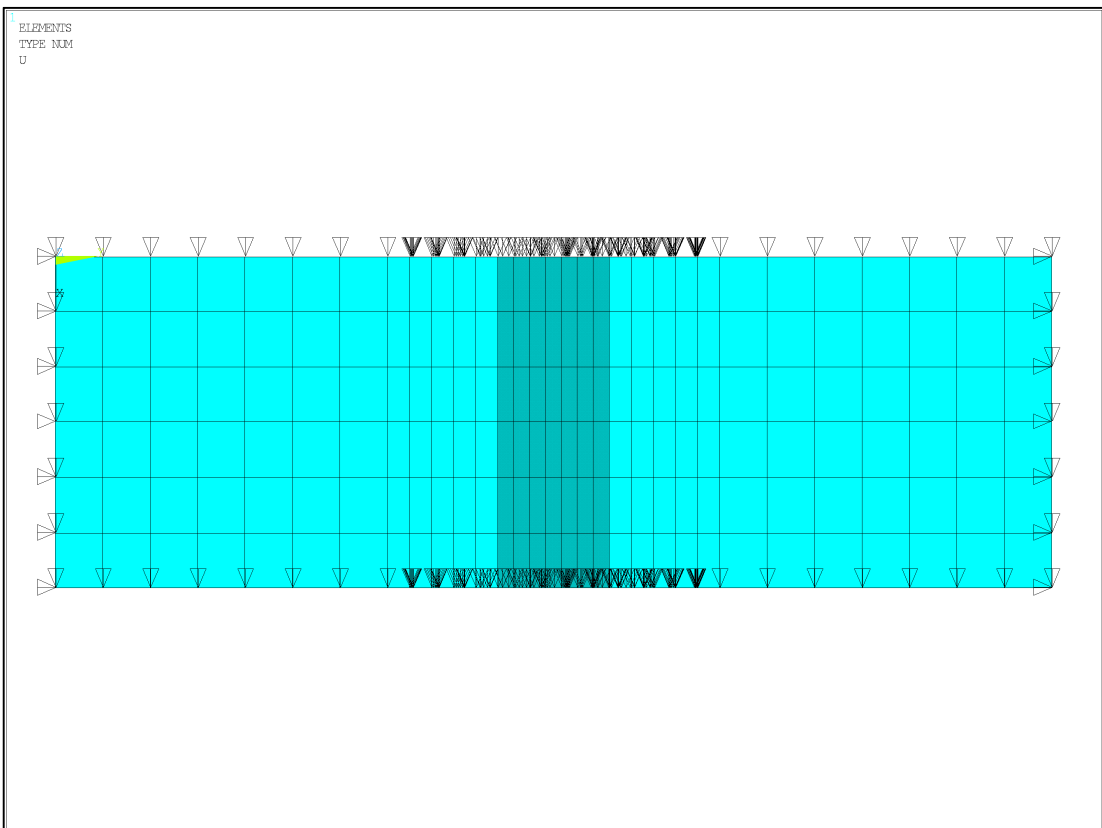
Byl řešen prostorový model. Kvůli velkým časovým nárokům na výpočet byl zvolen velmi jednoduchý jednovrstvý (homogenní) svah, jehož geometrie je na obr. 5.18. Příčný profil a materiálové charakteristiky odpovídají příkladu rovinné úlohy uvedené v kap. 5.1.1. Sít' konečných prvků je na obr. 5.19. Byly použity prvky SOLID45. Okrajové podmínky na bočních stěnách modelu jsou na obr. 5.20. U spodního okraje modelu bylo zabráněno posunům ve všech směrech. Výsledný stupeň stability vypočítaný pro ekvivalentní Druckerův-Pragerův kužel je $F = 1,12$, viz obr. 5.21. Tento výsledek neodpovídá výsledku z rovinné úlohy uvedené v kap. 5.1.1. Byla snaha o nalezení příčiny tohoto rozdílu.



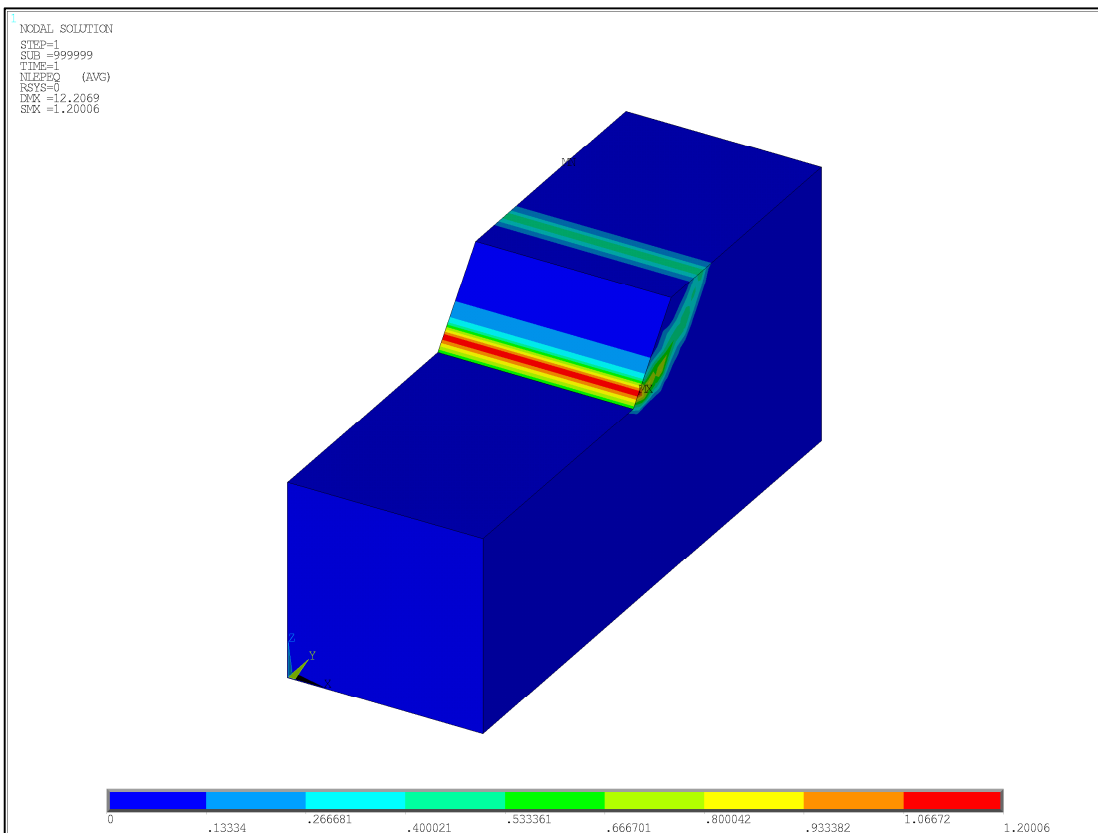
Obr. 5.18 Prostorový model – geometrie



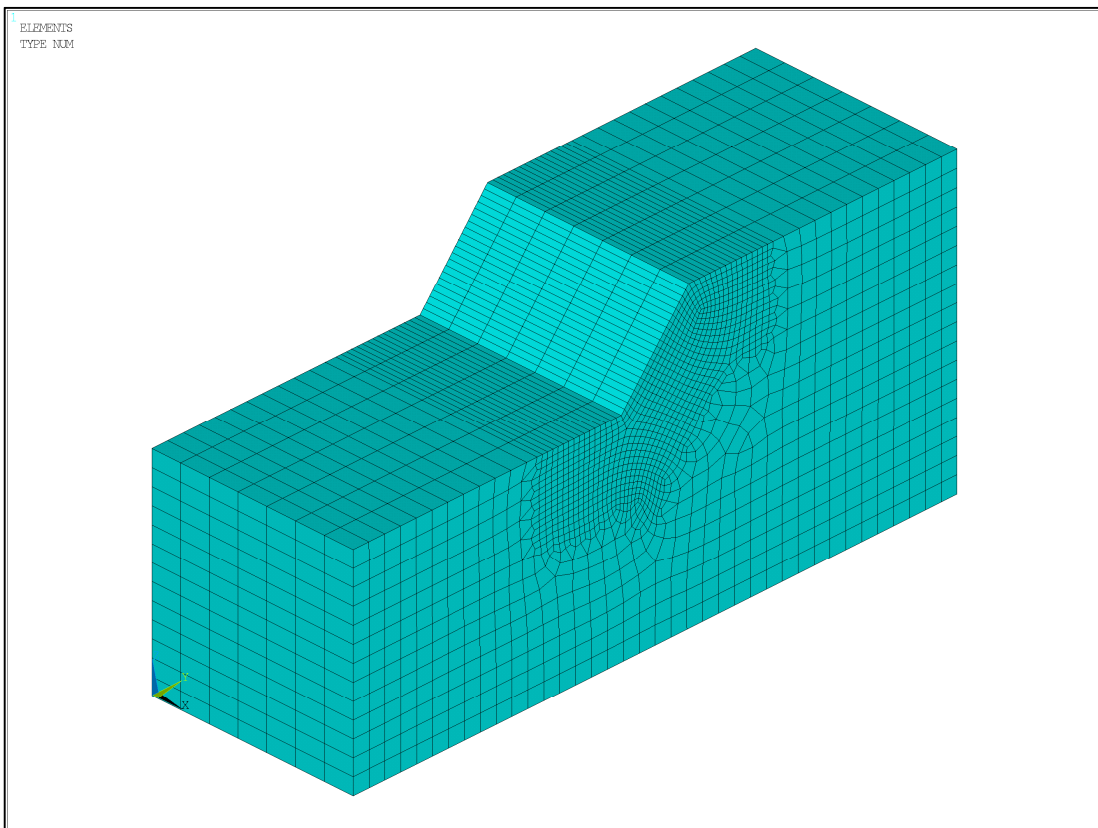
Obr. 5.19 Prostorový model - síť konečných prvků (SOLID45)



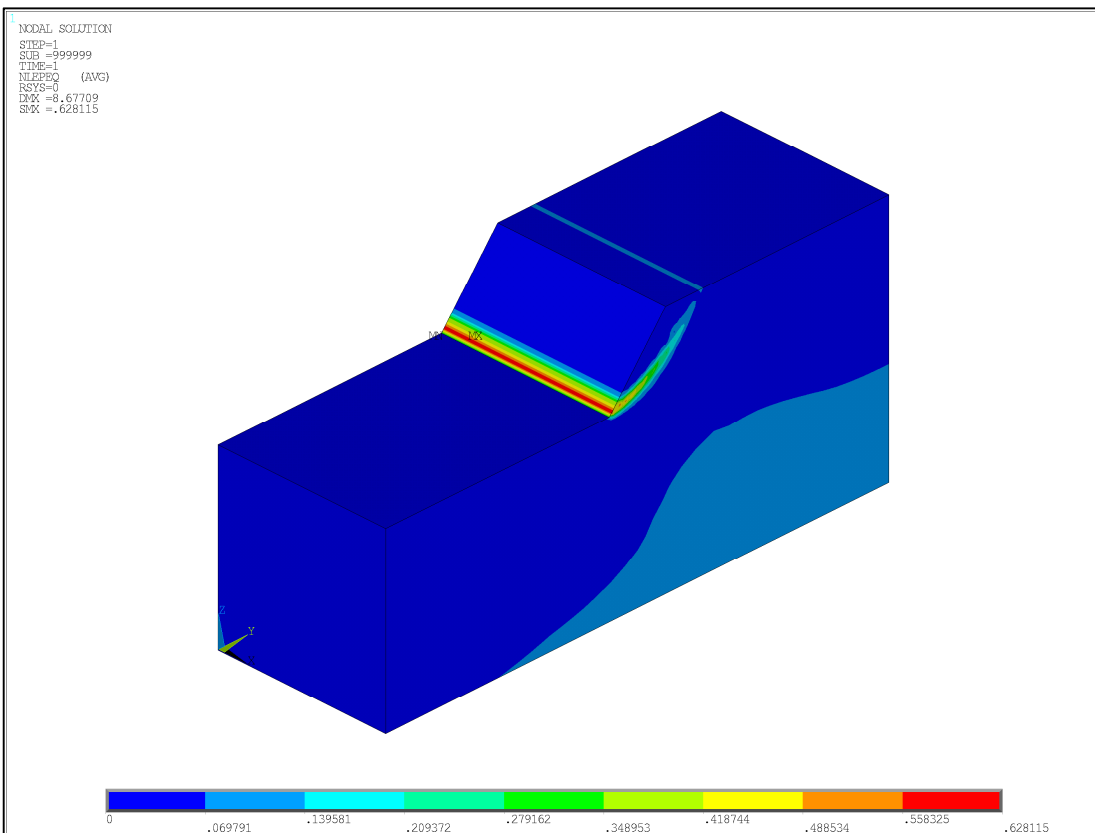
Obr. 5.20 Prostorový model - okrajové podmínky



Obr. 5.21 Ekvivalentní plastická deformace ($F = 1,12$)



Obr. 5.22 Prostorový model - zjemněná síť konečných prvků



Obr. 5.23 Ekvivalentní plastické přetvoření při zjemněné síti konečných prvků ($F = 1,05$)

Síť konečných prvků byla zjemněna v oblastech, kde se předpokládají rozhodující smyková namáhání, viz obr. 5.22. Okrajové podmínky zůstaly stejné. Pro tento případ byl zjištěn stupeň stability pro ekvivalentní Druckerův-Pragerův ekvivalentní kužel $F = 1,05$. Stejný výsledek vyšel i pro případ úlohy rovinné deformace uvedený v kap. 5.1.1. Ekvivalentní plastická deformace je na obr. 5.23.

6 Závěr

V diplomové práci jsem zpracoval řešení stability zemních těles. Pro správné určení vstupních dat pro klasické i moderní metody posuzování stability svahů bylo nutné se zabývat kvalifikovaným stanovením mechanických vlastností zemin včetně jejich získání ze zkoušek. Jedná se zejména o hustotu, úhel vnitřního tření, kohezi aj. Důležitým faktorem při posuzování stability svahu je vedle tvaru, rozměrů a vrstevnatosti zemního tělesa také stupeň nasycení zemního prostředí vodou.

Pro možnost srovnávání posouzení stability zemního svahu pomocí moderních metod na bázi metody konečných prvků byl vytvořen vlastní program [1] využívající klasické metody určení stupně stability svahu, a to Pettersonova a Bishopova metoda ve dvou variantách numerické integrace. Tento program v jazyce C# na platformě .NET Framework byl sestaven pro snadné a rychlé získávání stupňů stability.

Výpočtem MKP se získá pole napětí a pole deformací. Nelze však přímo určit stupeň stability odpovídající klasickému pojetí posuzování stability. Podstatou moderních numerických metod založených na metodě konečných prvků pro posuzování stability těles je využití metody redukce smykových parametrů pevnosti společně s vhodným materiálovým modelem s vnitřním třením vystihujícím plastické chování.

Přestože chování zemin velmi dobře vystihuje Mohrův-Coulombův materiálový model, nelze jej v současné době využít, neboť není implementován v používané verzi programového systému ANSYS. Programový systém ANSYS umožňuje volit jen Druckerův-Pragerův materiálový model ve tvaru opsaného kuželete k Mohrově-Coulombově modelu, jehož výsledky však nejsou příliš uspokojivé. Vzhledem k tomu je nutné provádět přepočty pevnostních parametrů zemin na hodnoty ekvivalentního nebo vepsaného kuželeta Druckerova-Pragerova modelu. Proto byl v této práci vytvořen algoritmus, který převádí opsaný Druckerův-Pragerův materiálový model na ekvivalentní nebo vepsaný a určí stupeň stability metodou redukce smykových parametrů pevnosti podle zadанé přesnosti. Tento algoritmus je uložen v macru implementovaném do systému ANSYS a je uveden v příloze diplomové práce.

Klasické i novodobé metody byly ověřeny na příkladech a jejich výsledky vzájemně porovnány. Ukázalo se, že hodnoty stupně stability získané uvedenou metodikou vycházejí srovnatelné s klasickými metodami. Byla vytvořena parametrická studie, ve které je zachycen vliv vstupních parametrů. Mezi faktory, které ovlivňují stupeň stability, patří geometrie svahu, jemnost dělení sítě konečných prvků, hustota a pevnostní charakteristiky materiálu. Modul pružnosti a Poissonův součinitel nemají na stupeň stability vliv.

Mezi výhody novodobých metod využívajících MKP oproti metodám klasickým patří ten fakt, že se nevyžaduje zadání předpokládané smykové plochy a rovněž to, že metodu lze použít i pro prostorové úlohy. Mezi nevýhody MKP patří stanovení kritéria pro vystižení nestabilního chování a tím ukončení výpočtu s ohledem na přesnost a časovou náročnost výpočtu.

7 Literatura a zdroje

- [1] Ekr, J. *Stabilita svahů* [počítačový program]. 2011.
- [2] Jirásek, M., Zeman, J. *Přetváření a porušování materiálů*. ČVUT, Praha: 2008.
- [3] Mencl, V. *Mechanika zemin*. Nakladatelství Československé akademie věd. Praha: 1966.
- [4] Novák, D., Brdečko, L. *Pružnost a pevnost – základní pojmy a předpoklady*. 2004.
- [5] Šimek, J., Jesenák, J., Eichler, J. *Mechanika zemin*. Nakladatelství technické literatury – SNTL. Praha: 1990.
- [6] *Theory Reference*. ANSYS, release 12.0.
- [7] Weiglová, K. *Mechanika zemin*. Akademické nakladatelství CERM. Brno: 2007.
- [8] ČSN EN ISO 14688-1 *Geotechnický průzkum a zkoušení – Pojmenování a zatřídování zemin – Část 1: Pojmenování a popis*. 2003.
- [9] ČSN EN ISO 14688-2 *Geotechnický průzkum a zkoušení – Pojmenování a zatřídování zemin – Část 2: Zásady pro zatřídování*. 2005.
- [10] ČSN 73 1001 *Zakládání staveb. Základová půda pod plošnými základy*.
- [11] Bubeníček, M. *Úvahy o zavedení vlivu vody do výpočtu stability svahu*.
http://www.fce.vutbr.cz/veda/JUNIORSTAV2007/Sekce_2.6/Bubenicek_Michal_CL.pdf.
- [12] Modelování stability svahů. http://geologie.vsb.cz/svadef/Text/7_stabilita.htm.
- [13] Shangyi, Z., Yingren, Z. *Slope safety factor analysis using ANSYS*.
<http://www.ansys.com/staticassets/ansys/staticassets/resourcelibrary/confpaper/2002-int-ansys-conf-22.pdf>
- [14] Wikipedia. <http://en.wikipedia.org/>
- [15] www.rocscience.com.
<http://www.rocscience.com/library/rocnews/summer2004/StrengthReduction.pdf>.

8 Seznam symbolů

A	[m ²]	plocha
B	[m]	šířka intervalu
b	[m]	šířka podintervalu (šířka proužku)
c	[Pa]	koheze
c_{ef}	[Pa]	efektivní koheze
c_u	[Pa]	totální koheze
E	[Pa]	modul pružnosti
E_{def}	[Pa]	deformační modul přetvárnosti
E_{oed}	[Pa]	edometrický modul přetvárnosti
F	[-]	stupeň stability
G	[N]	tíhová síla
g	[m/s ²]	gravitační zrychlení ($g = 9,81 \text{ m/s}^2$)
H	[m]	výška
h	[m]	výška vrstvy
\bar{I}		hodnota integrálu pro výpočet těžiště
I_1		první invariant
I_c	[%]	stupeň konzistence
I_p	[%]	index plasticity
i		index
J_2		druhý invariant
j		index
k		směrnice přímky
Δl	[m]	délka smykové plochy proužku
M_{pasiv}	[Nm]	moment pasivních sil
M_{aktiv}	[Nm]	moment aktivních sil
m	[-]	index
m	[kg]	hmotnost
m_d	[kg]	hmotnost suché zeminy
m_w	[kg]	hmotnost vody
N	[N]	normálová síla
n		index
n	[%]	pórovitost
q		konstanta rovnice přímky
r	[m]	poloměr kružnice
r_u	[-]	koeficient pórového tlaku
S		střed kružnice
S_r	[-]	stupeň nasycení
s_x	[m]	x -ová souřadnice středu kružnice
s_y	[m]	y -ová souřadnice středu kružnice
T	[N]	tangenciální síla
t		těžiště
U	[N]	výslednice pórového tlaku

u	[Pa]	pórový tlak
V	[m ³]	objem
$V_{\text{pórů}}$	[m ³]	objem pórů
V_{vody}	[m ³]	objem vody
V_{zeminy}	[m ³]	objem zeminy
w	[%]	vlhkost zeminy
w_l	[%]	mez tekutosti
w_p	[%]	mez plasticity
w_s	[%]	mez smrštitelnosti
x	[m]	souřadnice
x_a	[m]	x -ová souřadnice počátku intervalu
x_b	[m]	x -ová souřadnice konce intervalu
y	[m]	souřadnice
α	[°]	úhel odklonu hlavních os
α_j		koeficient vnitřního tření u D-P podmínky
δ	[-]	součinitel přetvárnosti
β	[°]	úhel sklonu svahu
γ	[N/m ³]	objemová tíha zeminy
γ_d	[N/m ³]	objemová tíha suché zeminy
γ_{sat}	[N/m ³]	objemová tíha nasycené zeminy
γ_{su}	[N/m ³]	objemová tíha zeminy pod hladinou vody
ε	[-]	přesnost výpočtu
ϑ	[°]	úhel odklonu normálové síly od tíhové
ν	[-]	Poissonův součinitel
ρ	[kg/m ³]	hustota zeminy
ρ_d	[kg/m ³]	hustota suché zeminy
ρ_s	[kg/m ³]	hustota pevných částic
ρ_{sat}	[kg/m ³]	hustota nasycené zeminy
ρ_{su}	[kg/m ³]	hustota zeminy pod hladinou vody
σ	[Pa]	normálové napětí
σ_{ef}	[Pa]	efektivní normálové napětí
σ_m	[Pa]	střední napětí
σ_{tot}	[Pa]	totální normálové napětí
τ	[Pa]	smykové napětí
τ_f	[Pa]	pevnost ve smyku
τ_j	[Pa]	koeficient udávající mezní hodnotu snykového napětí u D-P podmínky
φ	[°]	úhel vnitřního tření
φ_{ef}	[°]	efektivní úhel vnitřního tření
φ_u	[°]	totální úhel vnitřního tření
χ	[-]	pomocná proměnná (SSR)
ψ	[°]	dilatance

PŘÍLOHA

Macro pro výpočet stupně stability metodou redukce parametrů smykové pevnosti SSR pro Druckerovu – Pragerovu podmítku plasticity ve tvaru ekvivalentního kužele programem ANSYS:

Finish

/PREP7

/UIS,MSGPOP,3

/NERR, 0, 0, , 1

pi = 4*atan(1)

SF=

!Získání vstupních parametrů

!-----

*GET, pocetMat, MAT, 0, COUNT

*DIM, c, ARRAY, pocetMat

*DIM, fi, ARRAY, pocetMat

*DO, i, 1, pocetMat, 1

 *GET, c(i), DP, i, , , CONST, 1

 *GET, fi(i), DP, i, , , CONST, 2

*ENDDO

!Redukce na ekvivalentní oblast

!-----

*DIM, alfaEkvi, ARRAY, pocetMat

*DIM, tauEkvi, ARRAY, pocetMat

*DO, i, 1, pocetMat, 1

 alfaEkvi(i) = 2*sqrt(3)*sin(fi(i)/180*pi)/(sqrt(2*sqrt(3)*pi*(9-(sin(fi(i)/180*pi))**2)))

 tauEkvi(i) = 6*sqrt(3)*c(i)*cos(fi(i)/180*pi)/(sqrt(2*sqrt(3)*pi*(9-(sin(fi(i)/180*pi))**2)))

 *Msg, NOTE,i, alfaEkvi(i), tauEkvi (i)

 Material %i %/&

 Alfa ekvivalentni %G %/&

 Tau ekvivalentni %G

*ENDDO

SF = 1.0

dSF = 0.1
epsilon = 0.01
i=1
chi = -1
Finish

!Cyklus
!-----
*DOWHILE, i

/Prep7
*DO, j, 1, pocetMat, 1

alfaVnejsiRed = alfaEkvi(j)/SF
tauVnejsiRed = tauEkvi(j)/SF

fii = (180*asin((3*3**((1/2)*alfaVnejsiRed)/(3**((1/2)*alfaVnejsiRed + 2))))/pi
ci = (3**((1/2)*tauVnejsiRed*(3 - sin(1/180*fii*pi)))/(6*cos((pi*fii)/180))

TB,DP,j
TBDATA,1,ci,fii,0

*Msg, NOTE, j, fii, ci
Material %i %/&
Fi vnejsi %G %/&
C vnejsi %G

*ENDDO
Finish

!Řešič
/Solu
Solve
Finish

/Post1
Set, Last
*GET, konecnySubStep, ACTIVE, 0, set, SBST
Finish

*IF, konecnySubStep, EQ, 999999, Then

SF = SF - dSF

```
*IF, dSF, LE, epsilon, Then
    i = -1
    *ELSEIF, chi, EQ, 1, Then
        dsF = dSF/10
        SF = SF + dSF
    *Else
        chi = 0
    *ENDIF

*ELSE

*IF, chi, EQ, 0, Then
    dsF = dSF/10
*ENDIF

SF = SF + dSF
chi = 1

*ENDIF

*MSG, UI, SF, dSF
SF = %G, dSF = %G

*ENDDO

FINISH

/PREP7
/NERR, 5, 10e3, , 0
/UIS, MSGPOP, 2

*DO, i, 1, pocetMat, 1
    TB, DP, i
    TBDATA, 1, c(i), fi(i), 0
*ENDDO

Finish

*MSG, UI, SF
Stupen stability je %G
```

CHI=
dSF=
fii=
ci=
i=
j=
KONECNYSUBSTEP=
POCETMAT=
EPSILON=
*DEL, ALFAEKVI
*DEL, TAUEKVI
*DEL, c
*DEL, fi